

ÚVOD NESAMOSTATNÝ VÝBOJ

F3180 | Výboje v plynech

prof. RNDr. Mirko Černák, CSc.

M U N I
S C I

Fyzika elektrických výbojů

MUNI
SCI



Fyzika elektrických výbojů

Elektrické výboje sú „najpraktickejším“ spôsobom generovania elektrickej plazmy

- **zdroje svetelného žiarenia a lasery**
- **40 % technologických operácií pri výrobe mikročipov**
- **povrchové úpravy materiálov – nanotechnológie – čisté technológie**
- **rozklad toxickej materiálov – „čistiace“ technológie**
- **„Nežiadúce“ výboje: blesky, prieraz vo vedení VN**

Fyzika elektrických výbojů

ŠKODA AUTO ve výrobě motorů zavádí **plazmové nanášení povrchové vrstvy válců**

16. 9. 2020

Ultrajemná vrstva, nanášená pomocí plazmy, nahrazuje u nového benzinového motoru 1,0 TSI řady EA211 litinové vložky válců

Společnost **ŠKODA AUTO** uvedla do provozu novou linku pro plazmové nanášení povrchové vrstvy válců motoru. Technicky inovativní proces umožňuje nahradit dosavadní vložky válců nanesením práškové vrstvy o celkové tloušťce 150 mikrometrů (0,15 milimetru). Zařízení bude využíváno při výrobě nových tříválcových motorů modelové řady EA211 EVO za účelem snížení vnitřního tření. V důsledku toho budou benzinové motory 1,0 TSI EVO ještě efektivnější a budou emitovat méně škodlivin. **Do potřebných přípravných prací a stavebních úprav investovala ŠKODA AUTO v Mladé Boleslavi zhruba 29 milionů euro.**

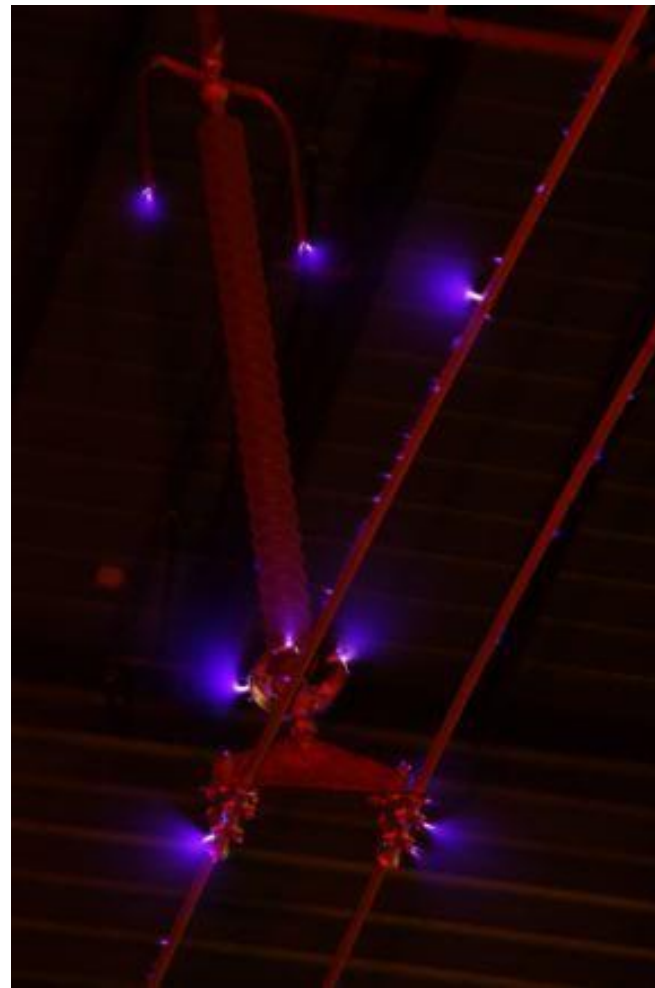
Renault jde proti proudu. Zvětší motory a představí nové diesely

1. února 2018

Označení napovídá zvětšení objemu o jeden decilitr, ale rozdíl je o kousek výraznější.

Objem benzinového turbomotoru se zvětší z 1198 na 1330 kubických centimetrů. K již používanému variabilnímu časování sacích a výfukových ventilů nový motor přidává zvýšení maximálního tlaku u vstřikovací soustavy, upravený tvar spalovacích prostorů a stěny válců **opracované plazmou (tuto technologii přebírá z Nissanu GT-R)**.

An interesting fact about the three-in-one TCe gasoline engine is represented by its cylinder coating technology borrowed from the Nissan GT-R engine. According to [Renault](#), it has boosted efficiency by diminishing friction and optimizing heat transfer.



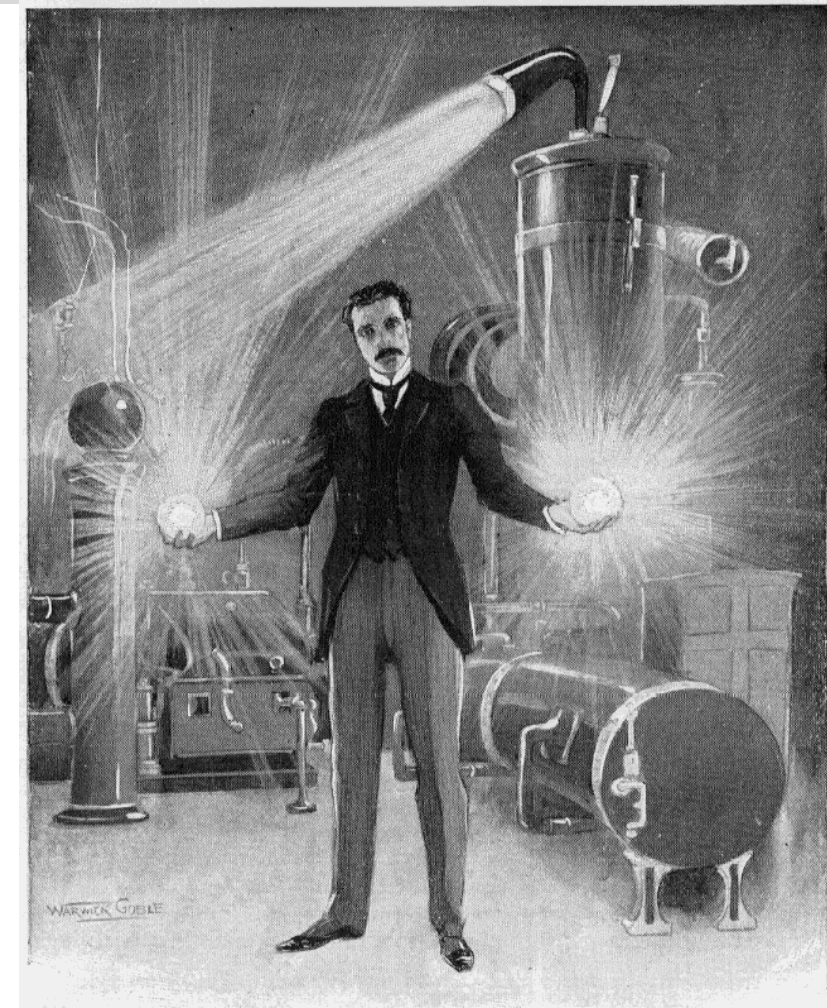
Ale!: Nežiadúce el. Výboje vo vedení VN



Ale!: aminokyseliny vzniknuté výbojom v atmosfére s vysokým obsahom čpavku.

Záhada guěového blesku



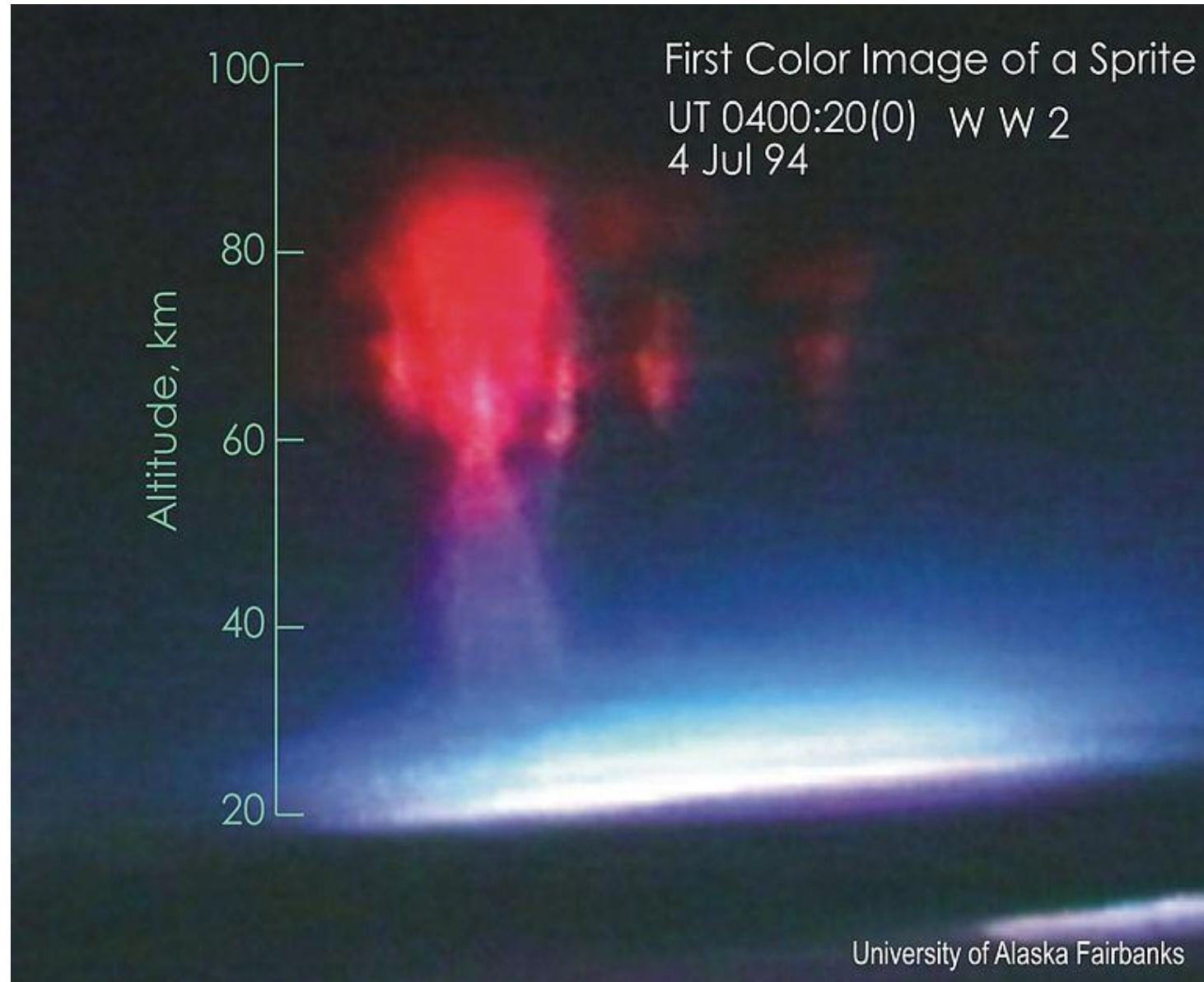


Nikola Tesla holding in his hands balls of flame

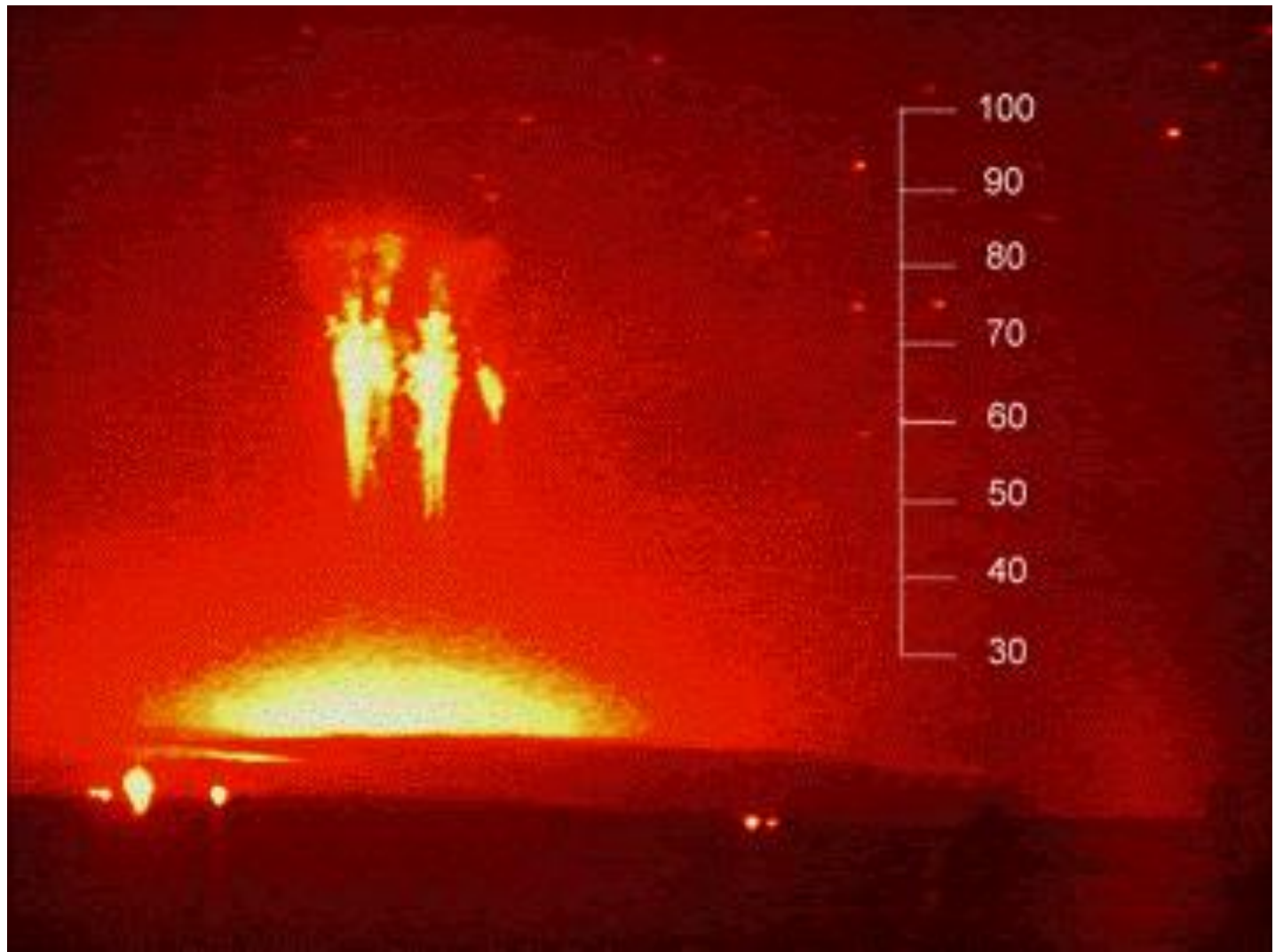
NICOLE TESLA 1904 !

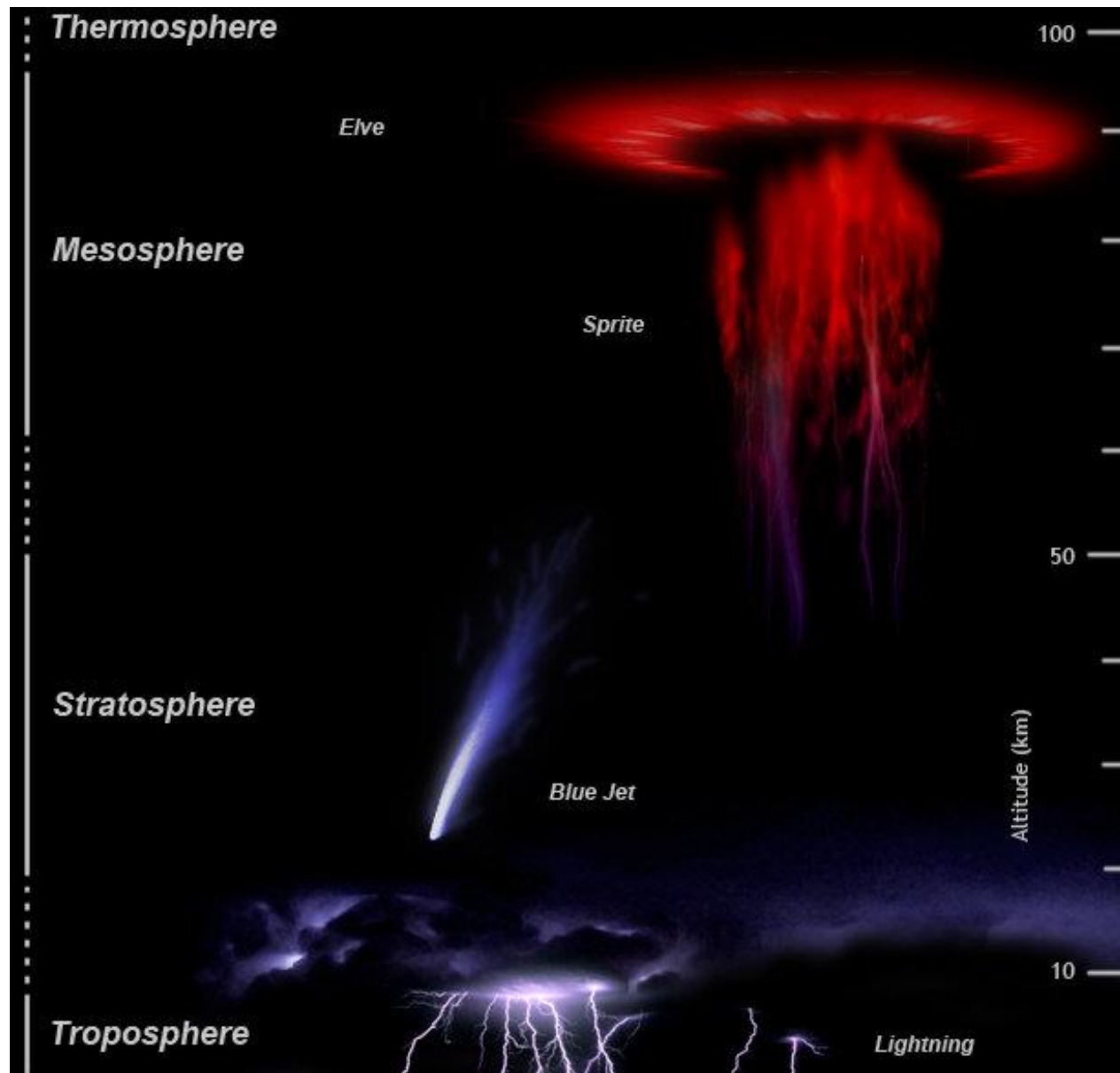
Nevysvetlené javy v horných vrstvách atmosféry

MUNI
SCI



„sprites“







V protiklade k výbojom v horných vrstvách atmosféry existujú i výboje v zemskej kôre, ktoré sa študujú kvôli možnému predpovedaniu zemetrasení

Phys Chem Minerals (1998) 25:566–573

© Springer-Verlag 1998

ORIGINAL PAPER

L. Scudiero · J.T. Dickinson · Y. Enomoto

The electrification of flowing gases by mechanical abrasion of mineral surfaces

Received: 14 July 1997 / Revised, accepted: 2 January 1998

Abstract In the past, a number of workers have shown that both charged and neutral particles are released from inorganic materials during fracture and abrasion. In this work we show that charge can be transported by electrification of flowing gases over a surface undergoing abrasion. These results are relevant to possible mechanisms of a number of observed electrical phenomena associated with fault motion and earthquake activity.

those predicted from the above models (Park et al. 1996). Various laboratory experiments have been conducted to assist formulating a plausible model for the problem. One possible step is the production and transport of free charge due to mechanically stimulated particle emission which is released into the gas phase resulting in the electrification of the gas.

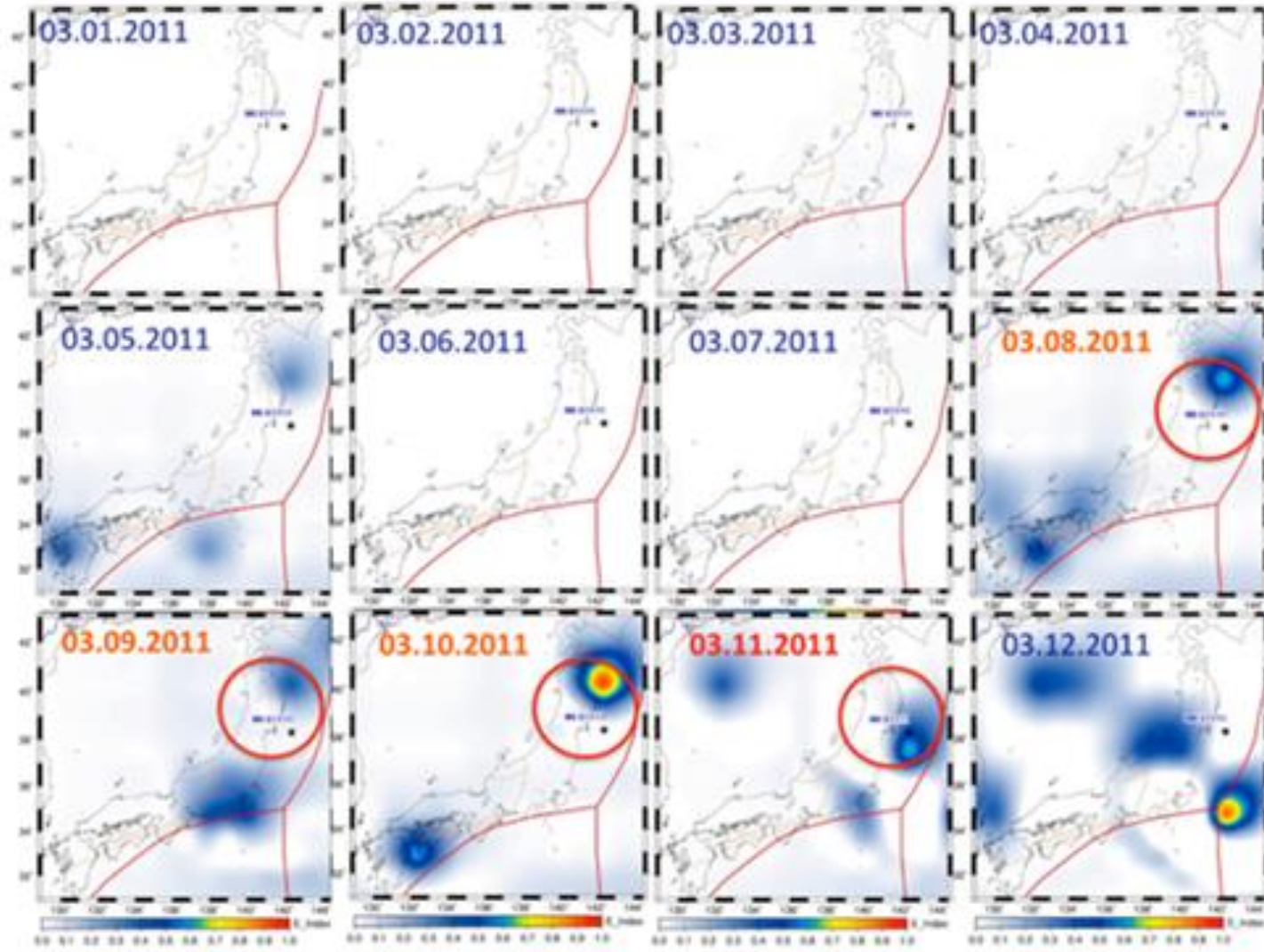
In this study we show that electrons due to tribological action between two surfaces can indeed release free

Elektrické výboje v podzemí

- Dimitar Ouzounov at the NASA Goddard Space Flight Centre in Maryland present the data from the Great Tohoku earthquake which devastated Japan on 11 March, 2011. Their results, although preliminary, are eye-opening.
- This adds weight to the Geoplasma model – that earthquakes might be **subterranean electrical discharges**.

Elektrické výboje v podzemí

- They say that before the M9 earthquake, the total electron content of the ionosphere increased dramatically over the epicentre, reaching a maximum three days before the quake struck.
- At the same time, satellite observations showed **a big increase in infrared emissions from above the epicentre, which peaked in the hours before the quake**. In other words, the atmosphere was heating up.



Areas With Powerful Electrical Formations

The deserts of Namibia hold many unusual geological structures that stretch the imagination and defy conventional explanation. Are electric discharges responsible for their formation?

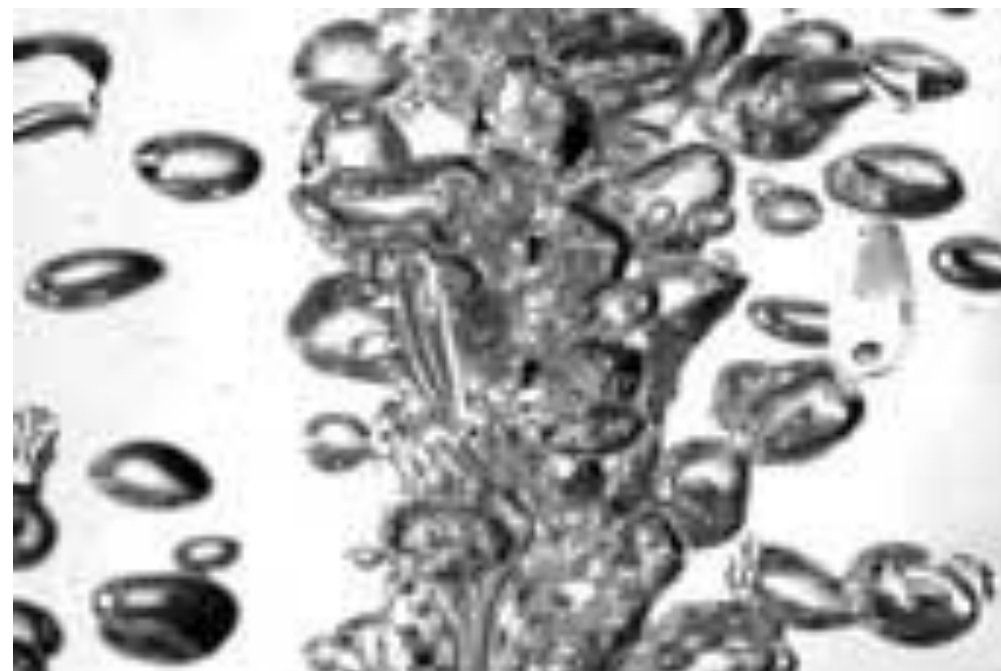


Sonoluminiscence

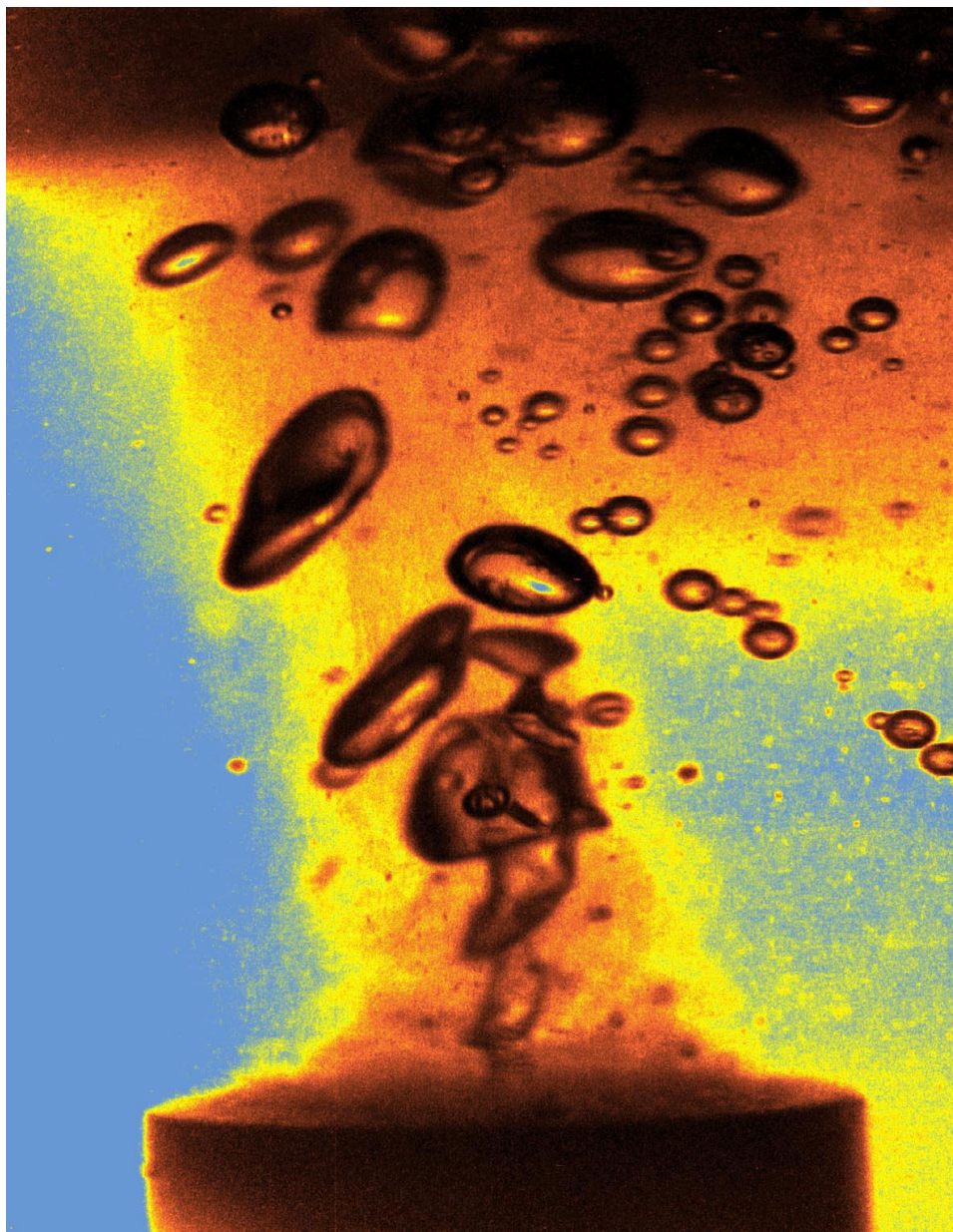
Sonoluminiscence je jev známý již delší dobu. Jak název napovídá, jedná se o vznik světla zapříčiněný zvukem. V praxi se nejčastěji zkoumá tak, že nádobou s acetonem necháme procházet intenzivní ultrazvuk. Velmi rychlé změny tlaku v kapalině způsobené průchodem ultrazvuku vyvolávají jev podobný kavitaci. Když je nějaké místo kapaliny v oblasti minima tlaku zvukové vlny, začne se odpařovat (je-li tlak dostatečně nízký) a vznikne malá bublinka, při příchodu maxima tlaku vlny velmi rychle zkolaďuje a v jejím středu vznikne vysoký tlak a teplota.

Bublinková fúze

- Termojaderná fúze na stole. Tak by bylo možné nazvat bublinkovou fúzi. Není k ní nutný neuvěřitelně nákladný reaktor a přitom jde o stejný pochod jako při výbuchu vodíkové bomby nebo reakcích v nitru Slunce.



- **Sonoluminiscence byla na začátku**

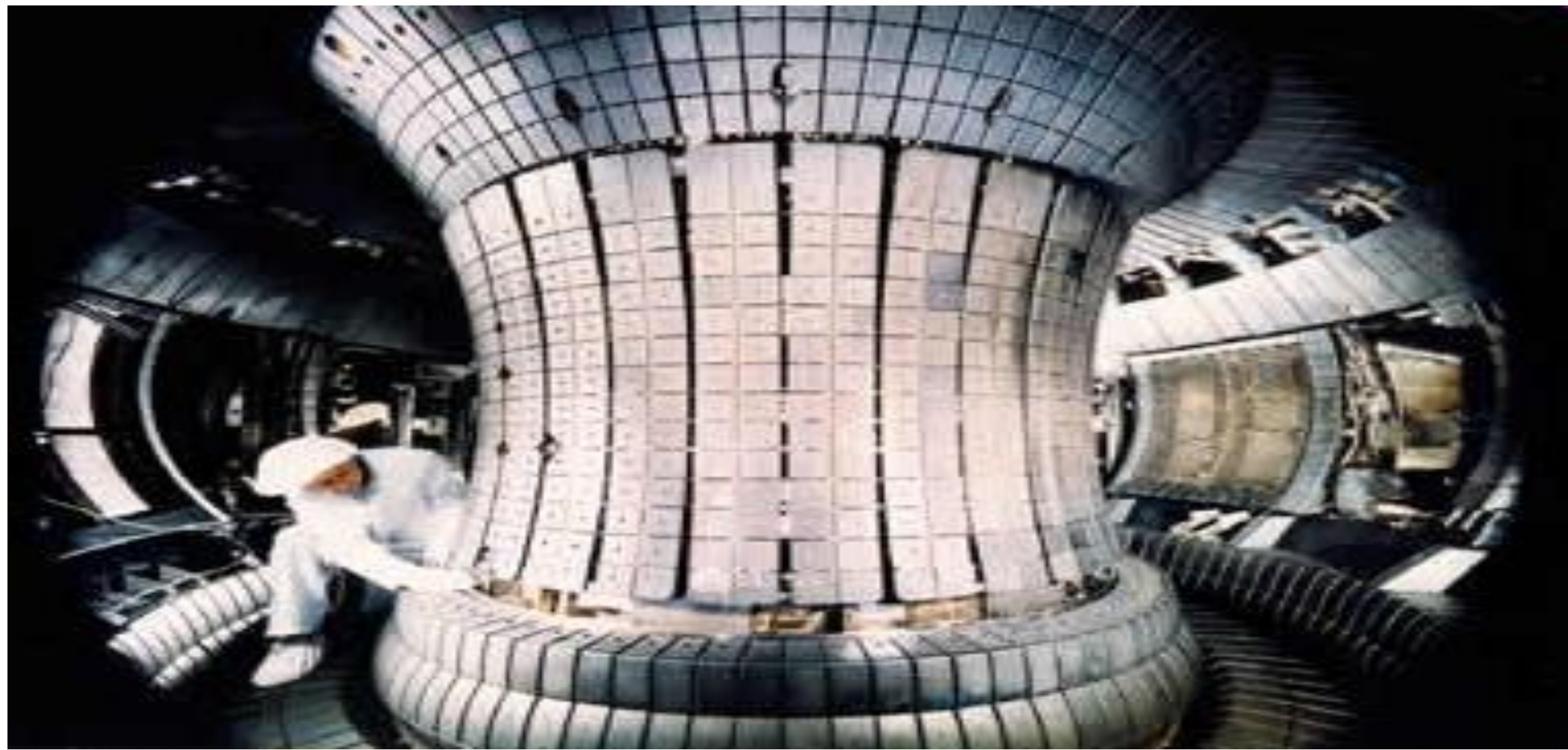


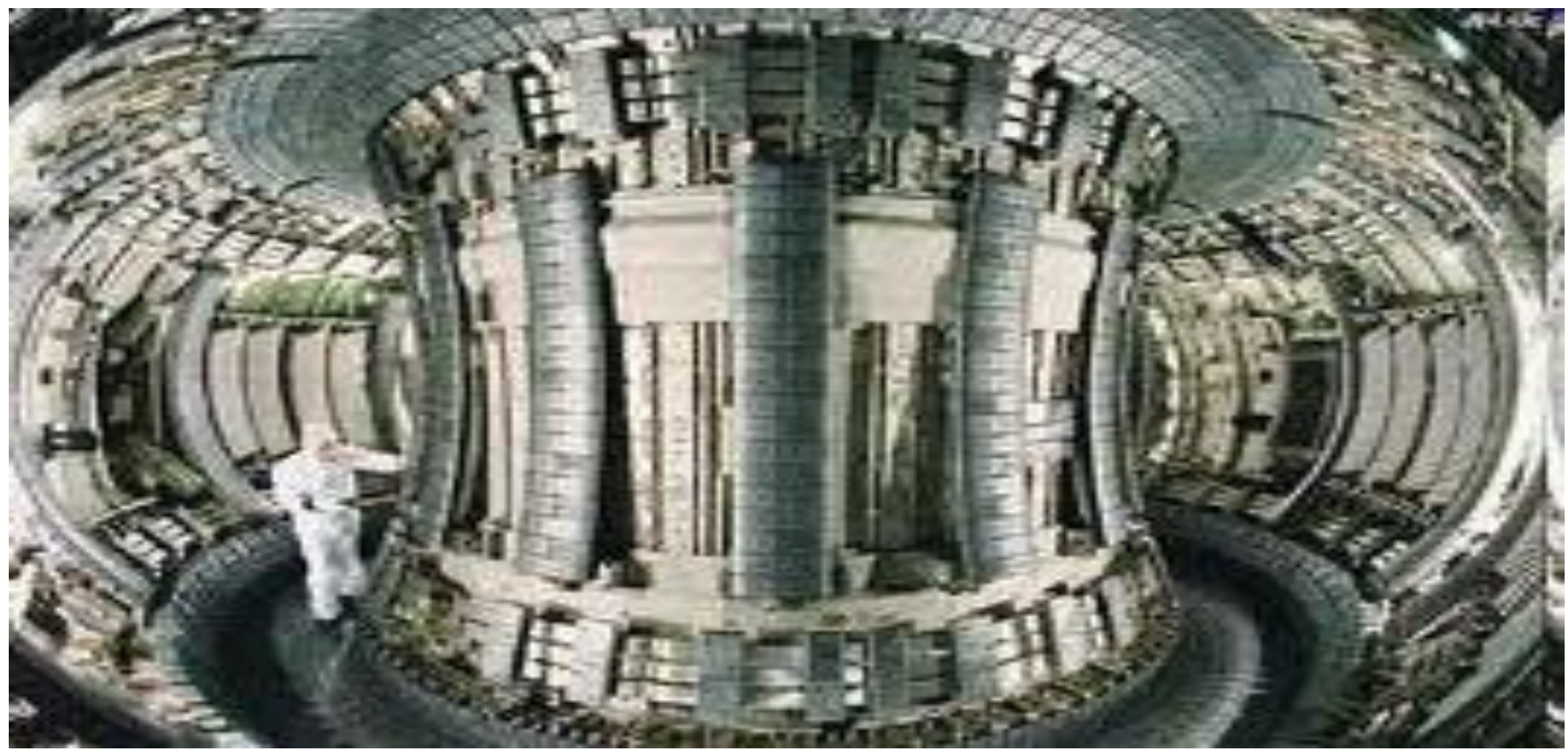
- *Když jsou tlak a teplota dostatečně vysoké, je možné, že na malý okamžik nastane v centru bublinky termojaderná reakce, která vytvoří světelný záblesk.* Pro lepší iniciování sonoluminiscence je vhodné, aby v acetonu byly již přítomné nějaké bublinky a také se využívají neutrony procházející kapalinou generované nějakým zdrojem. Jejich konkrétní účel mi bohužel není jasný.

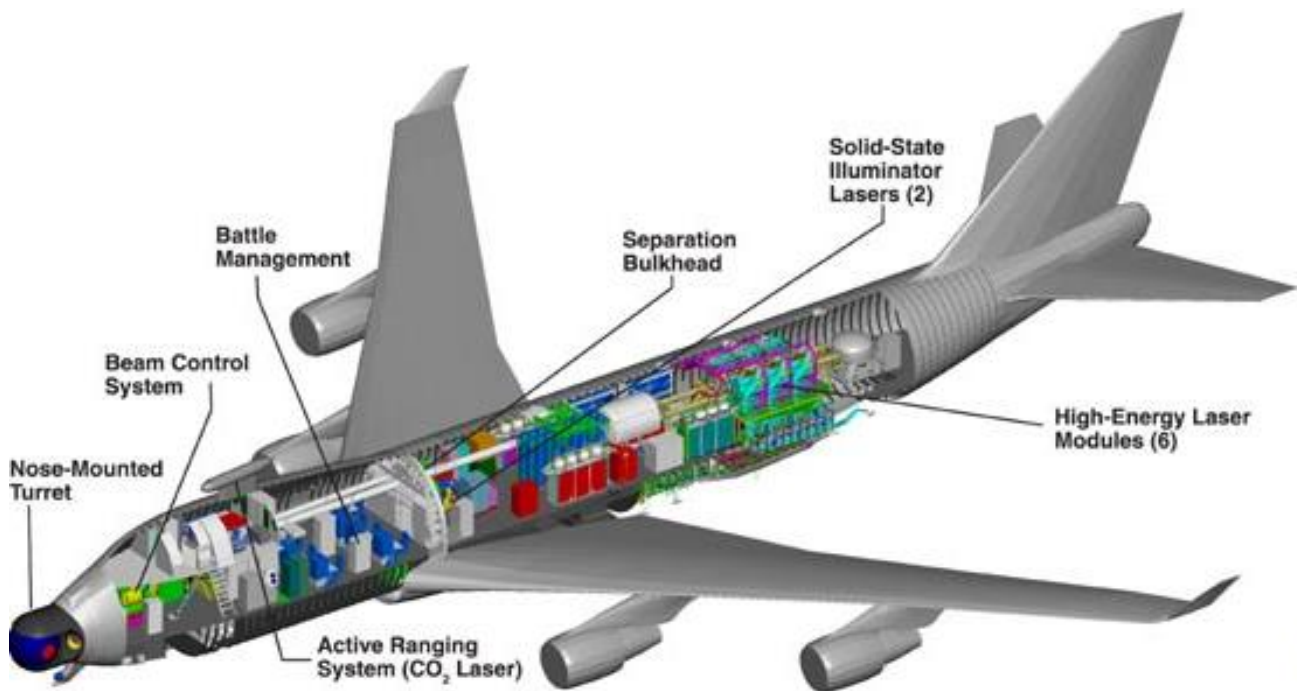
- Bublinková fúze dlouho zavrhovaná
- V roce 2002 byla poprvé publikována teorie, že za sonoluminiscencí je termojaderná fúze. Prezentované výsledky byly napadány mnoha vědci. Bylo argumentováno zejména tím, že interpretace výsledků je účelová a že naměřená data nedokazují ani nevyvracejí podíl jaderné fúze na sonoluminiscenci. Podivné je, že se experiment nepodařilo zopakovat v jiné laboratoři.

- On June 11, 2009, Kimberly-Clark filed a patent application on a thermonuclear fusion cell using ultrasound horns and by using an electric potential between the horn and the cell wall. They claimed to fuse hydrogen isotopes inside a carrier liquid, namely water and to have solved the reproducibility problems of Taleyarkhan in preamble.

Termonukleárna syntéza – TOKAMAK

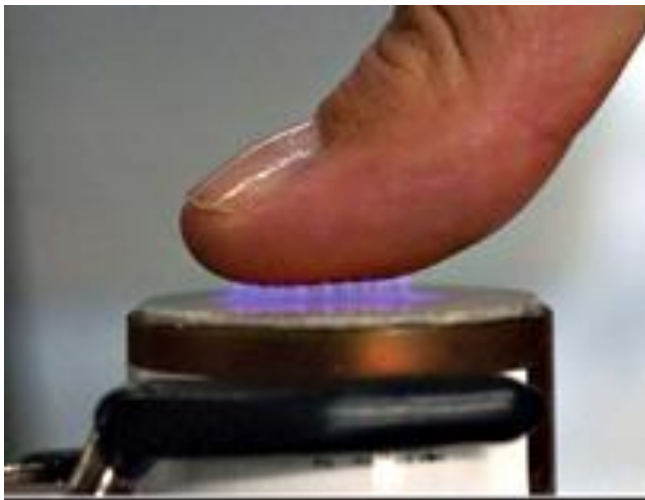






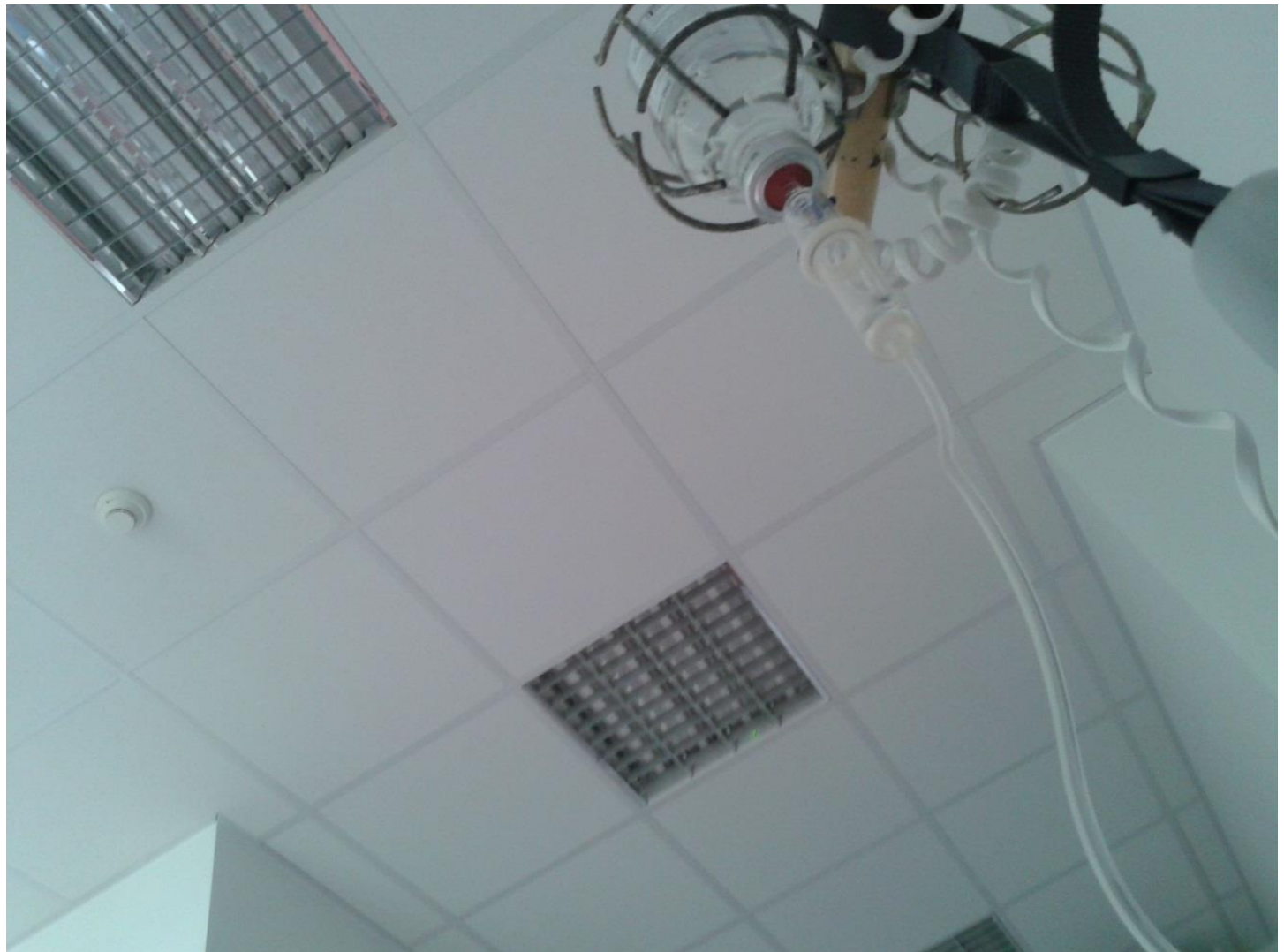
Friday, February 12, 2010. Successful *Anti-Missile Airborne Laser* Test

A. Fridman: **Plasmachemistry** 2008



Tri aplikácie plazmatu :

- **žiarivky,**
- **detektor dymu,**
- **plazmou upravený povrch hadičiek**



NESAMOSTATNÉ ELEKTRICKÉ VÝBOJE

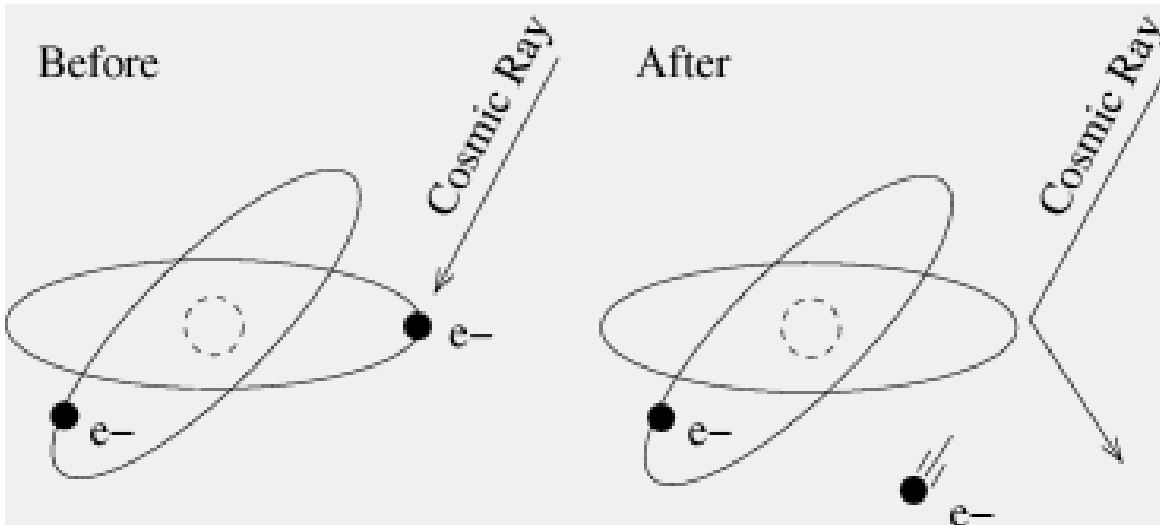
F3180 | Výboje v plynech

prof. RNDr. Mirko Černák, CSc.

M U N I
S C I

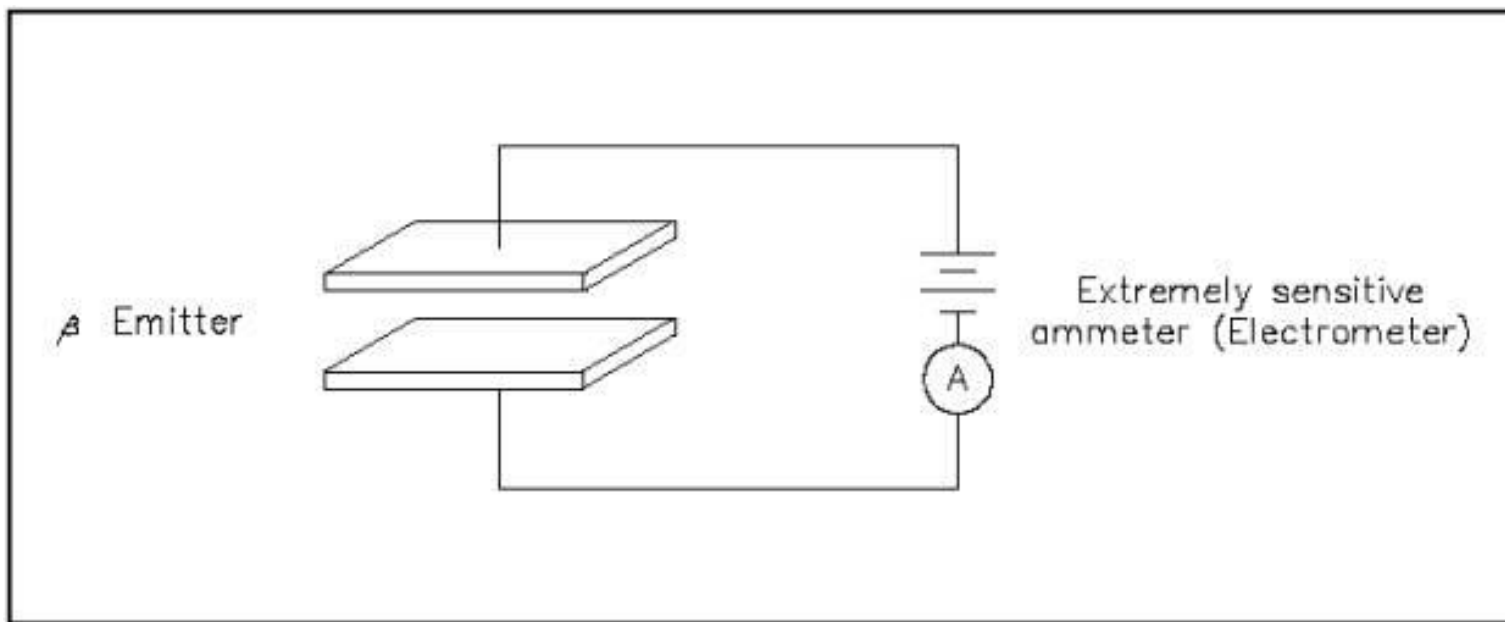
Nesamostatné elektrické výboje

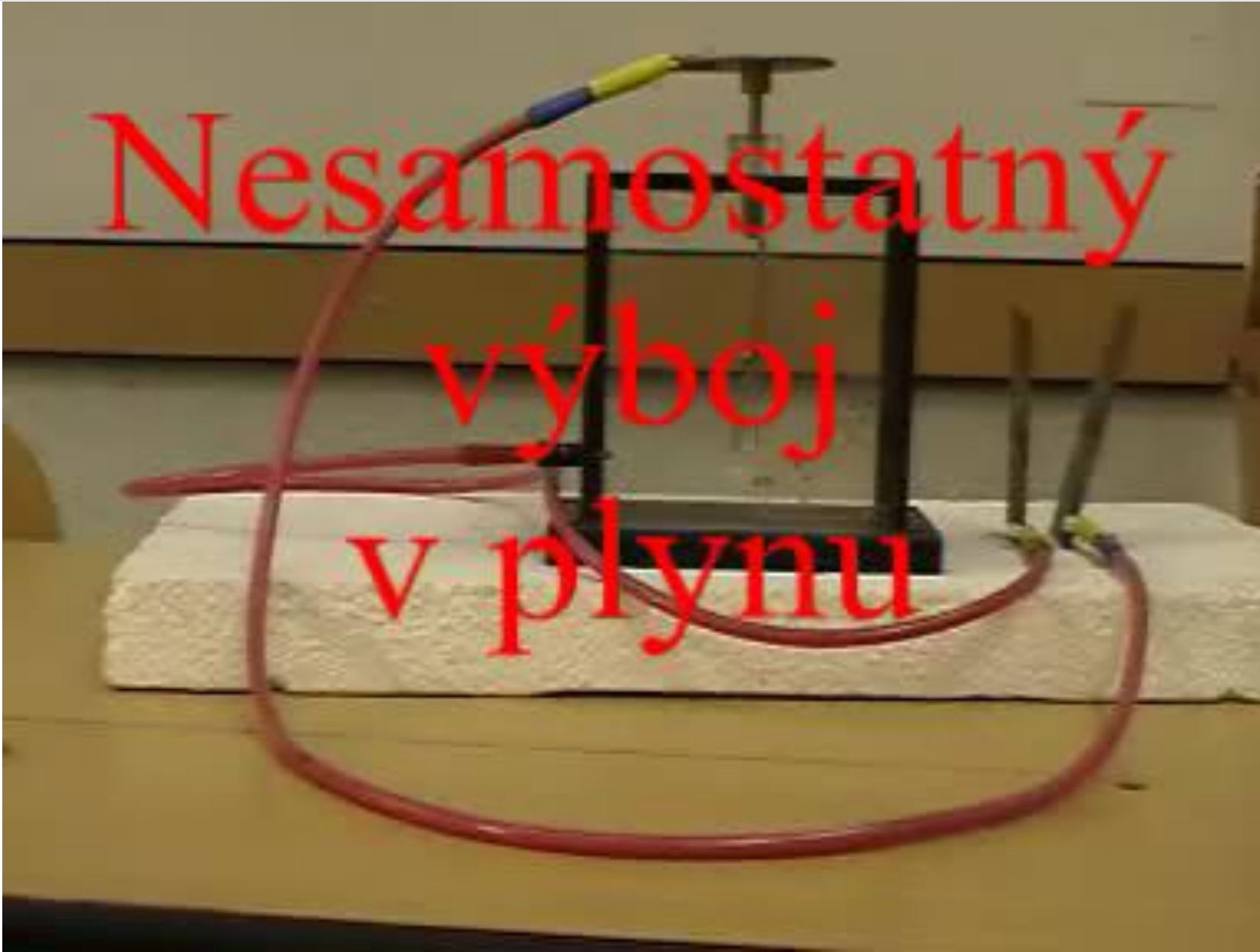
V slabom elektrickom poli môže atmosférou na zemskom povrchu pretekáť len veľmi slabý prúd s hustotami 10^{-12} až 10^{-6} A/m² v dôsledku **ionizácie** spôsobenej rádioaktívnym žiarením Zeme a kozmickým žiarením vesmíru.

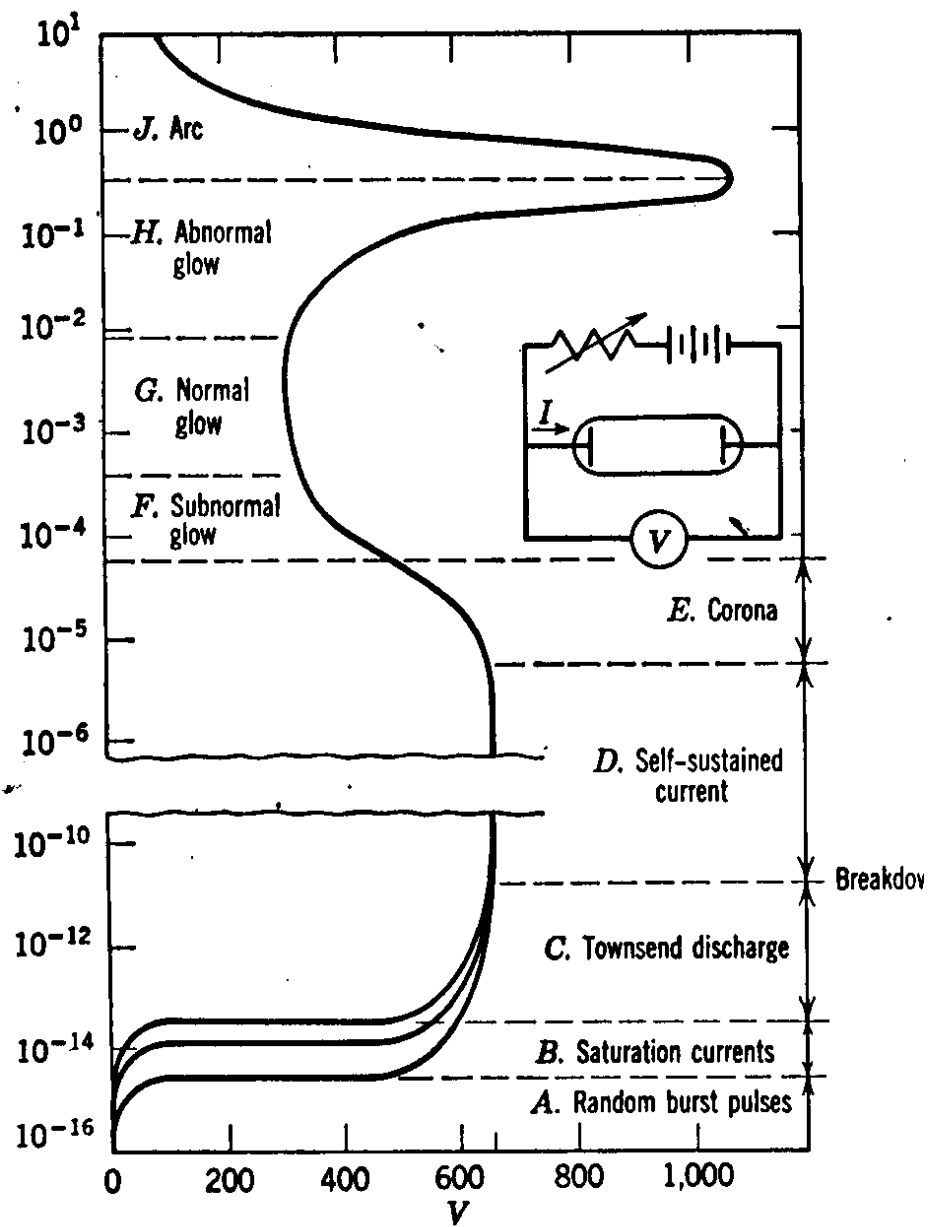


Týmto spôsobom sa v zemskej atmosféri vytvára v 1 cm^{-3} asi 1 000 iónových párov za 1 s. Pre vedenie elektrického prúdu väčšej hustoty je treba dodatočné ionizačné činidlo a výboje vyvolané týmto spôsobom nazývame **nesamostatné**.

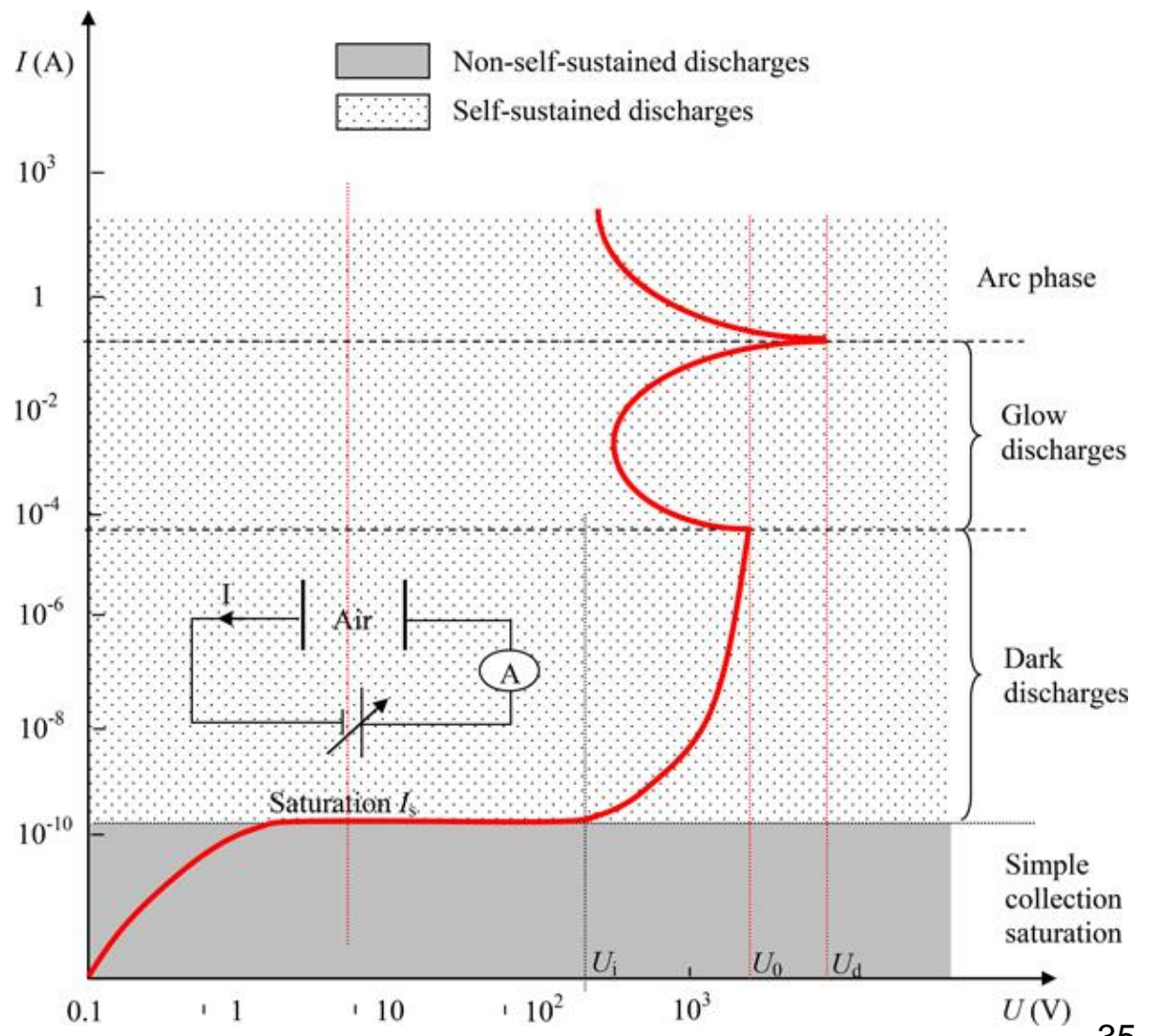
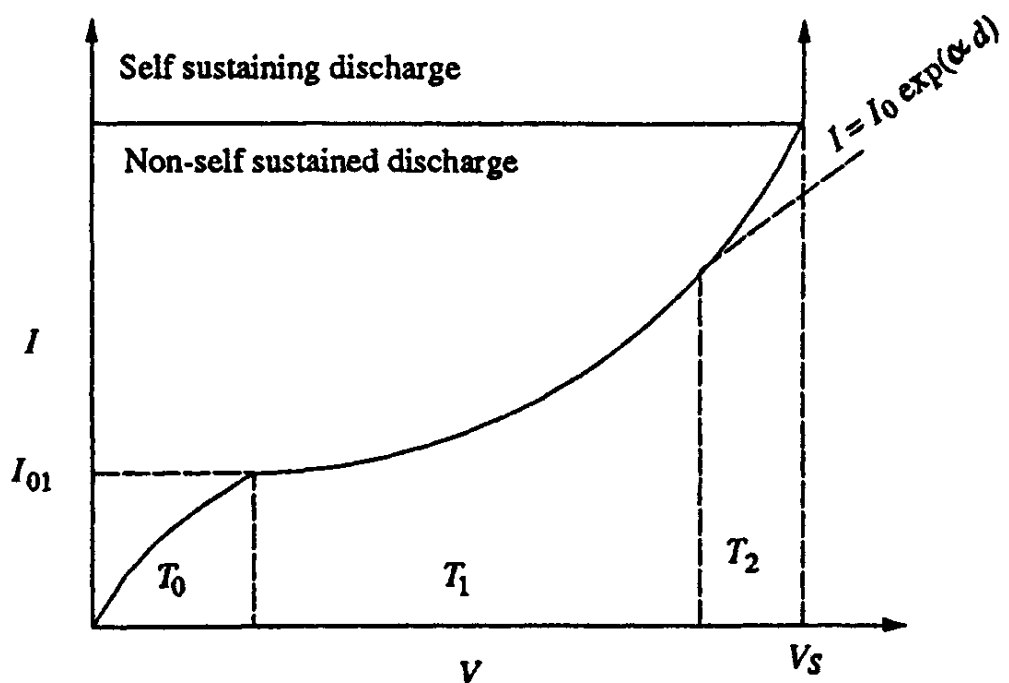
Volt-ampérová charakteristika nesamostatných výbojov:
prúd v dôsledku ionizácie pozadia alebo iného externého
zdroja ionizácie
Townsendov el. výboj (tmavý el. výboj).



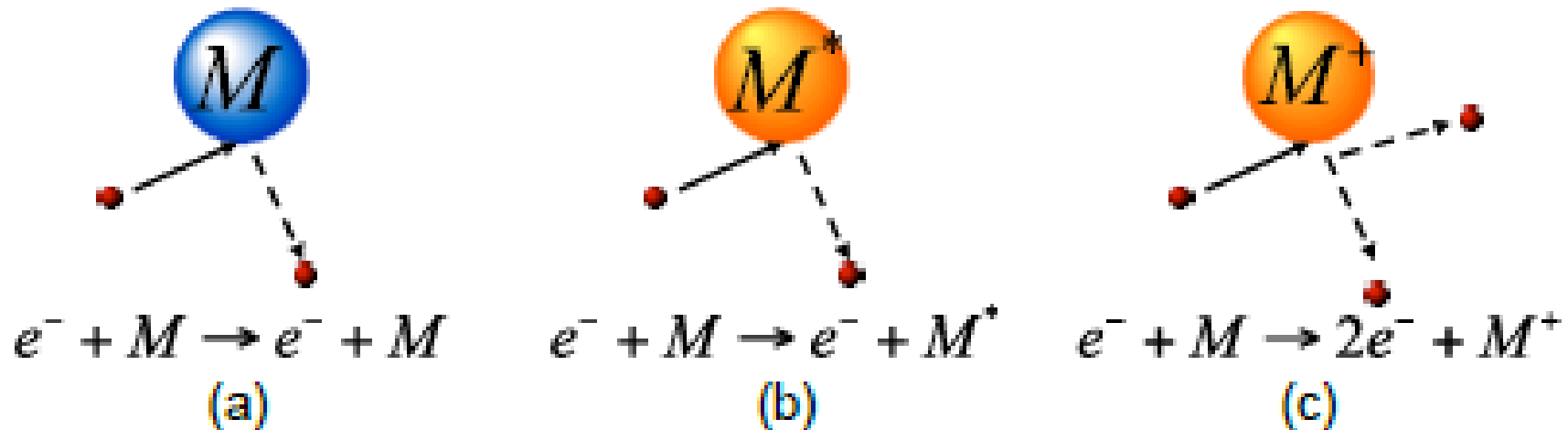


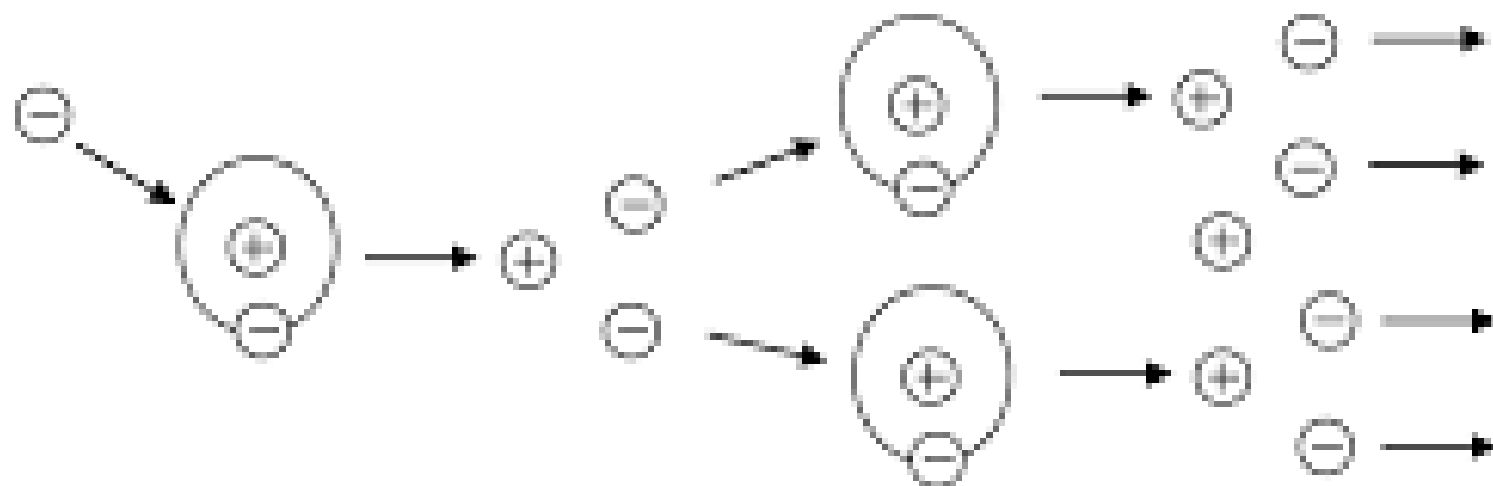


Ktorý obrázok je správny ?

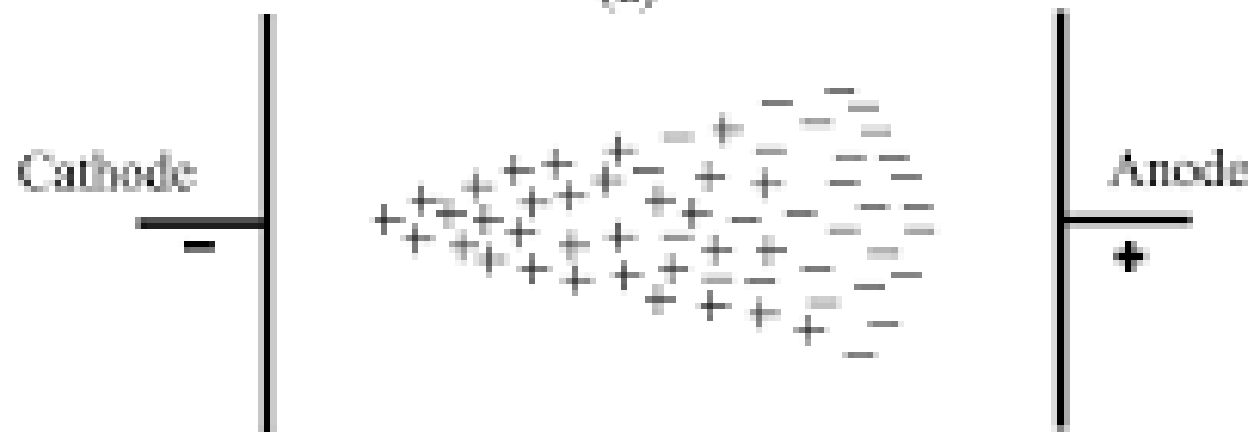


- a) Pružná zrážka ($\Delta\varepsilon \sim m/M$)
- b) Excitácia
- c) Ionizácia nárazom elektrónu





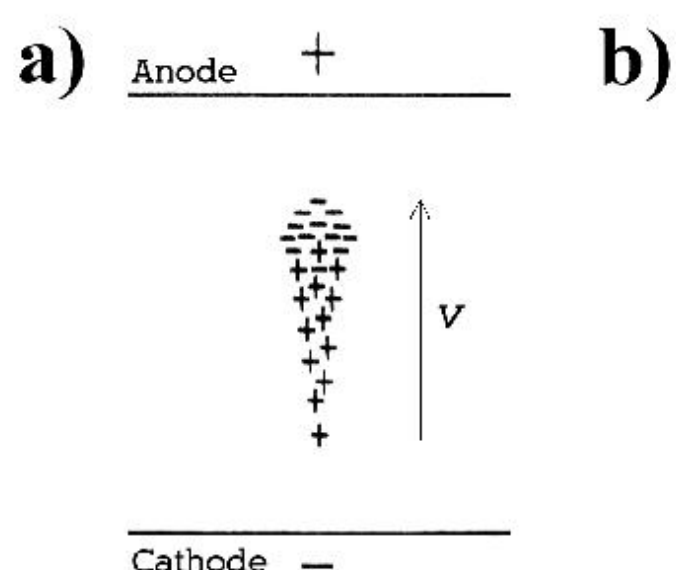
(a)



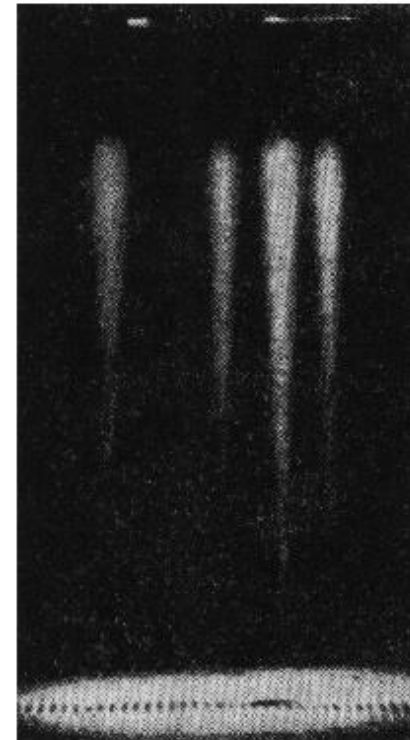
(b)

... je počet ionizačných zrážok, ktoré elektrón vykoná na jednotkovej dráhe (1 cm) pri pohybe v smere elektrického pol'a.

Elektrónová lavína

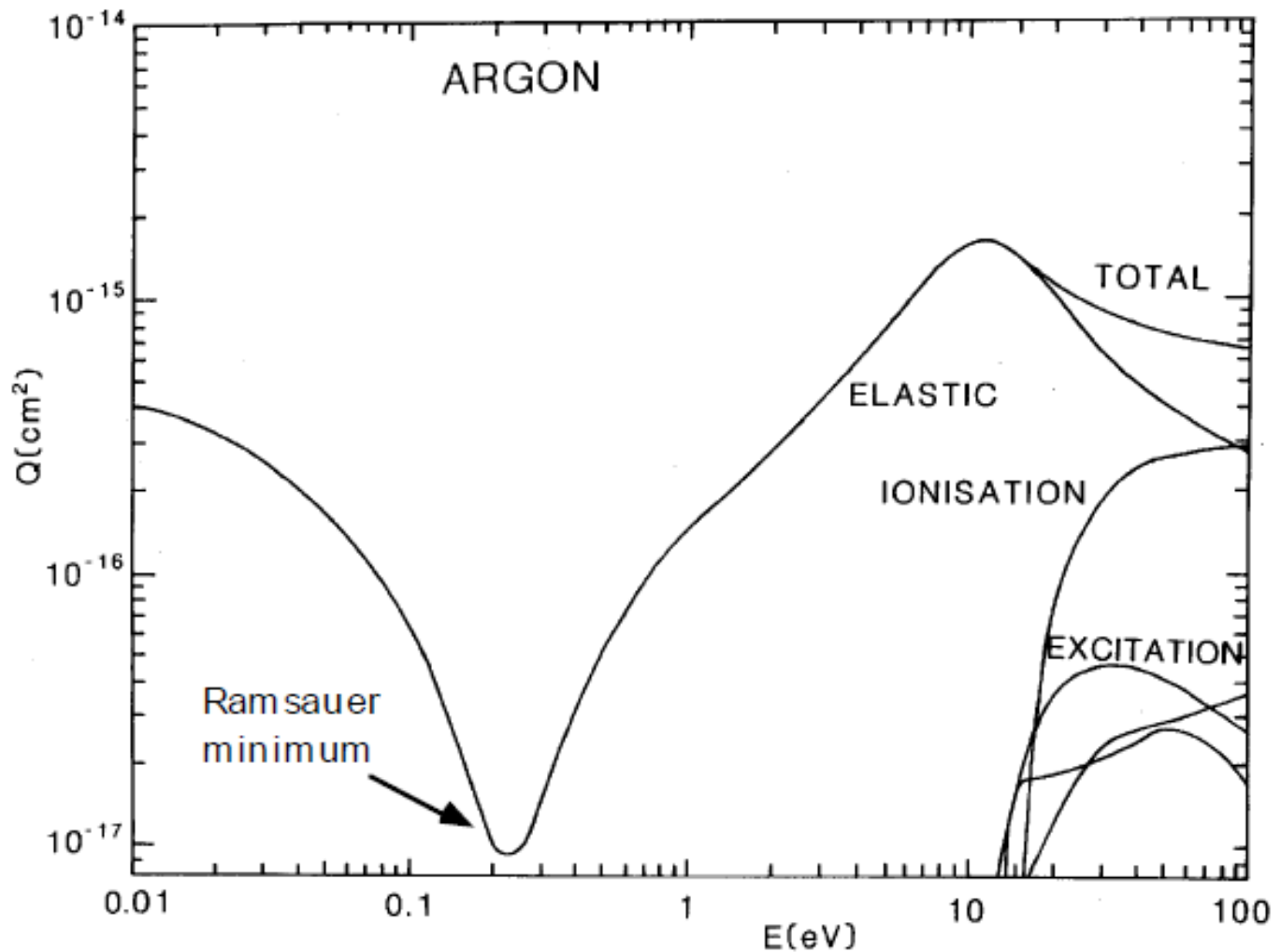


Electron avalanche in a laboratory experiment



Pružné zrážky

- Príklad: Ar



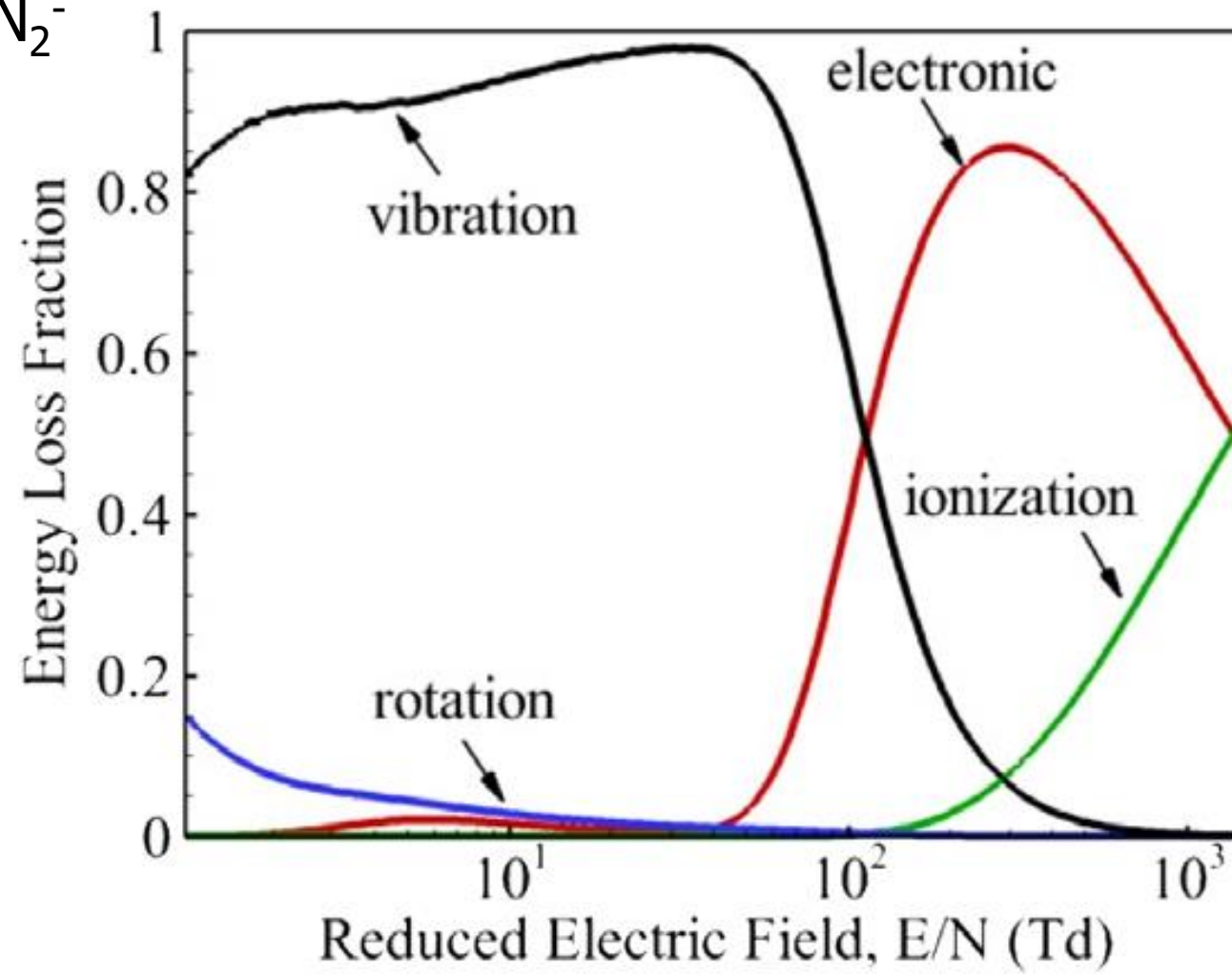
Ramsauerov efekt

- zaujímavý kvantovomechanický jav
- Ramsauer and Townsend observed that for slow-moving electrons in argon, krypton, or xenon, the probability of collision between the electrons and gas atoms obtains a minimum value for electrons with a certain amount of kinetic energy (about 1 electron volts for xenon gas). This is the **Ramsauer–Townsend effect**.

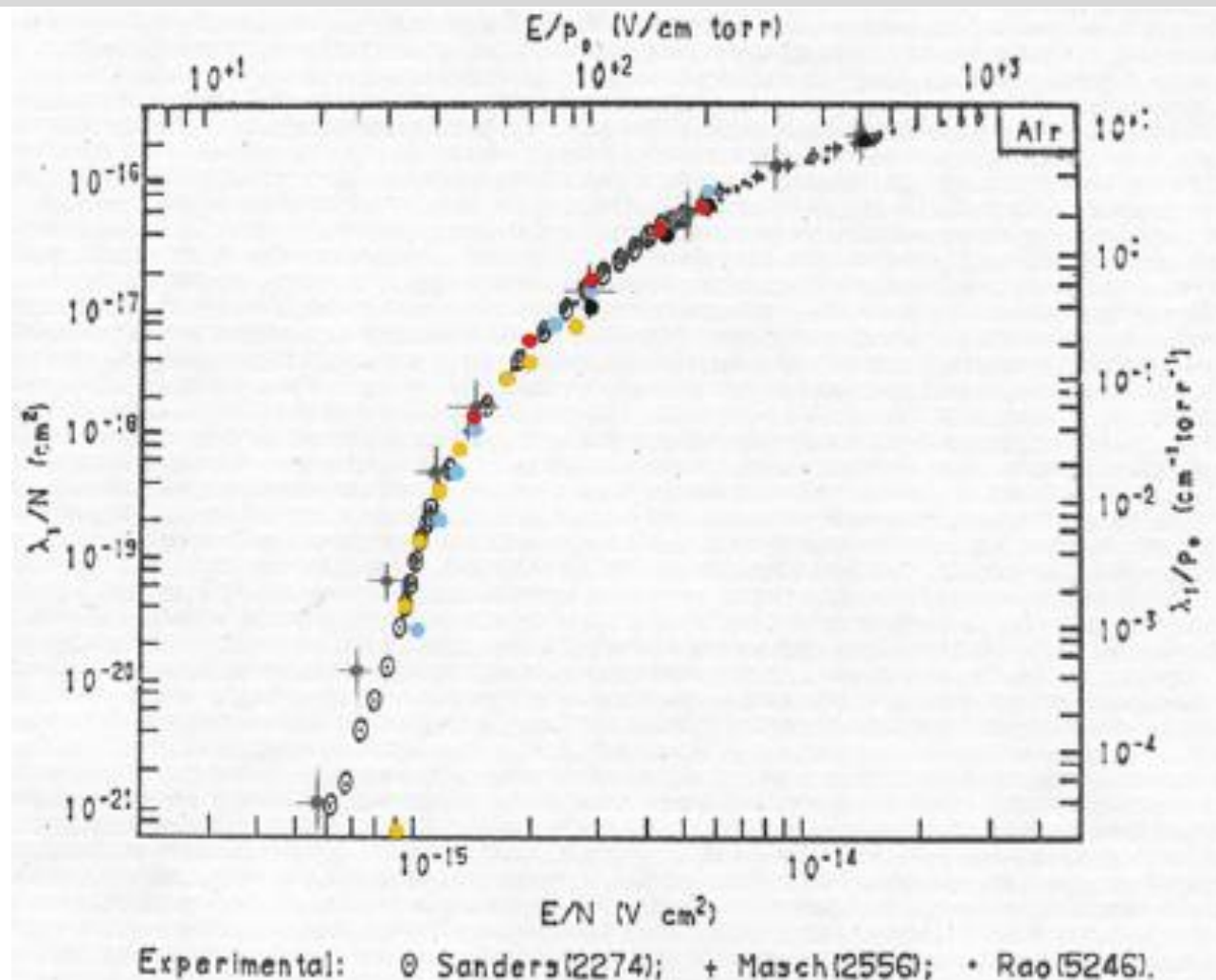
Excitácia

Príklad: Podiel energetických strát elektrónu vo vzduchu

Vibračné vzbudenie molekúl N_2 je mimoriadne účinné v dosledku vzniku nestabilných záporných iónov N_2^-



$$\alpha/p \approx A e^{-B p/E}$$



Ako jednotka pre E/n sa vo fyzike el. výbojov používa i

1 Td (Townsend) = 10^{-17} V.cm⁻²

Prierez ionizácie, ionizačná frekvencia, rýchlosná konštanta ionizácie, Townsendov koeficient ionizácie

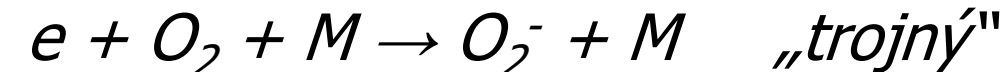
Ionizačná frekvencia je definovaná

$$\nu_{ion} = \frac{N \int f(\epsilon_e) \sigma_{ion}(\epsilon_e) v d\epsilon_e}{\int f(\epsilon_e) d\epsilon_e}, \quad \nu_{ion} = N \langle \sigma_{ion} v \rangle = N k_{ion},$$

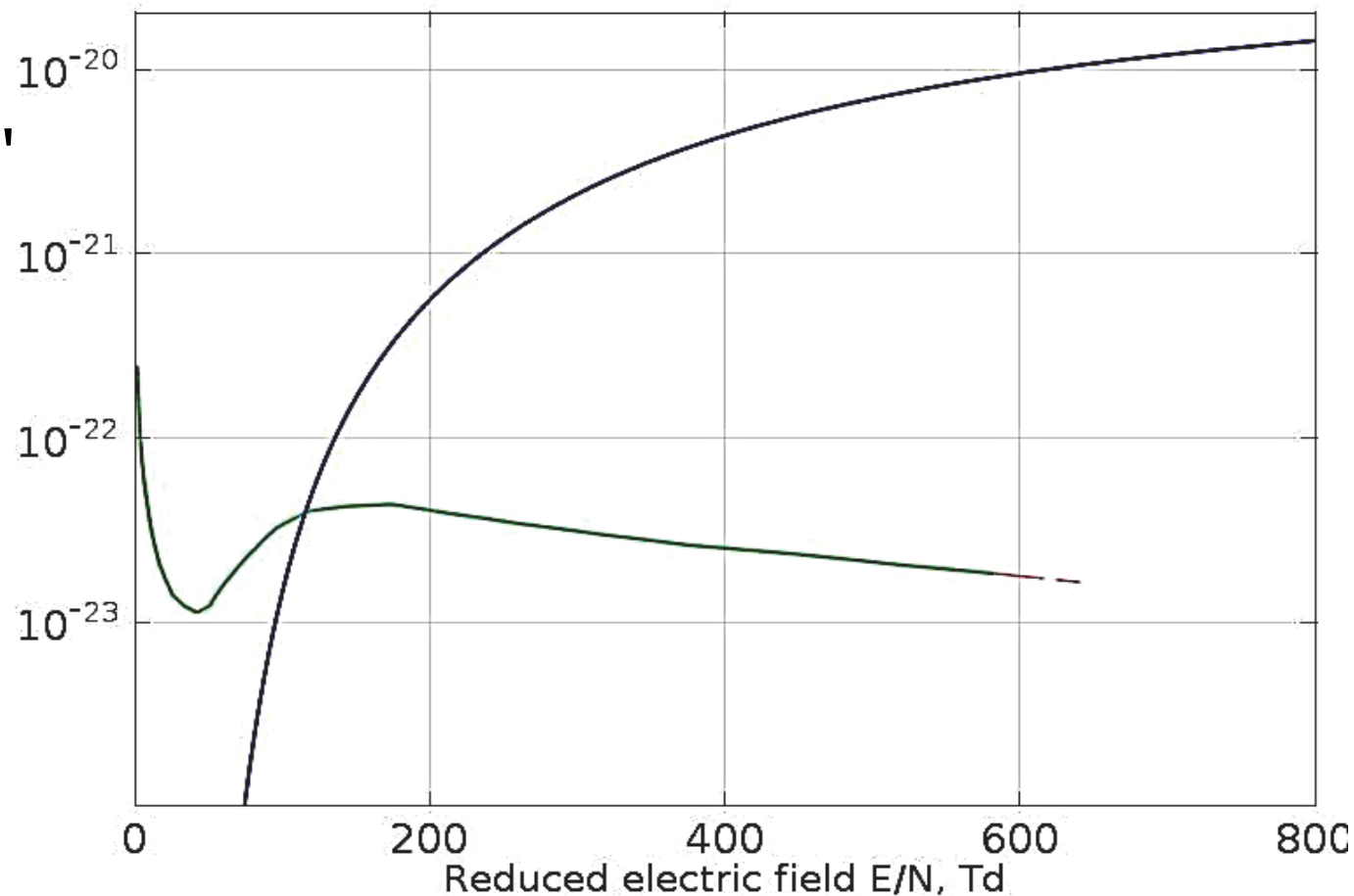
kde N je hustota plynu a v je teplelná rýchlosť elektrónu a
 k_{ion} [m^3/s] je rýchlosná konštanta ionizácie

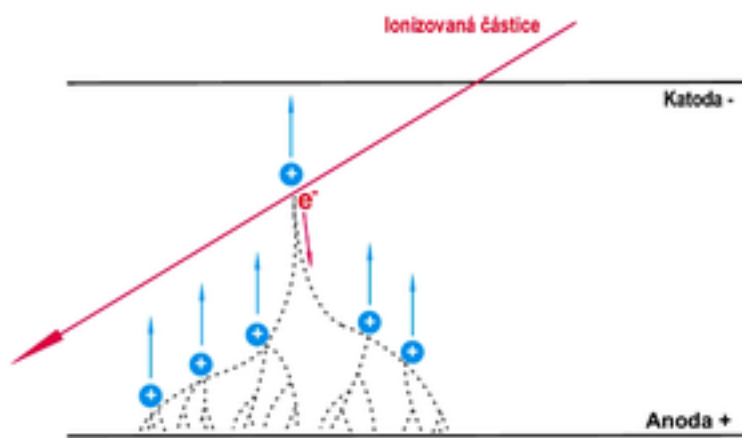
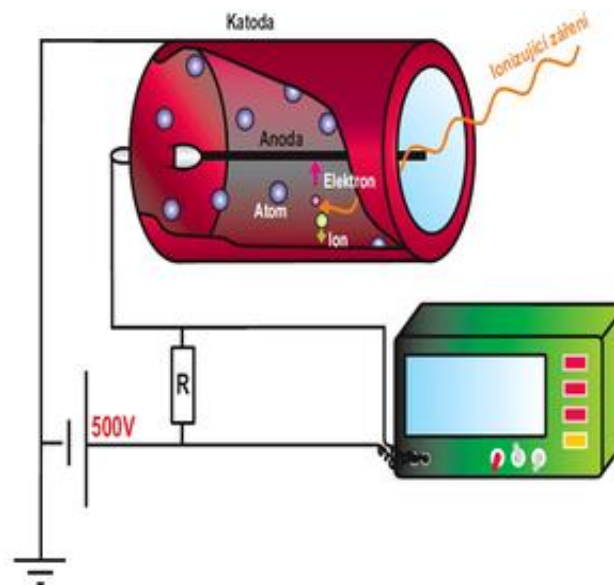
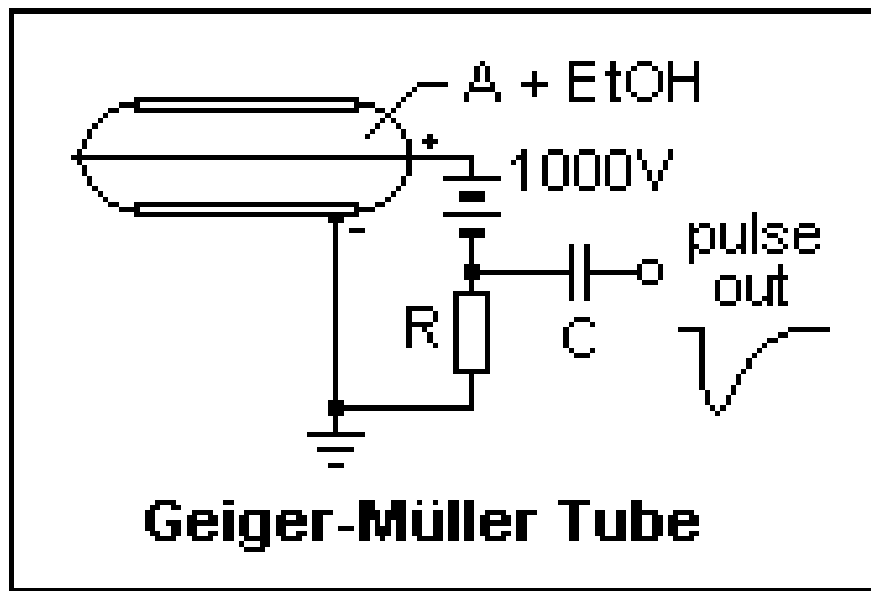
Townsendov koeficient ionizácie $\nu_{ion} = \alpha v_d$,
kde v_d je driftová rýchlosť elektrónu

Záchyt elektrónov



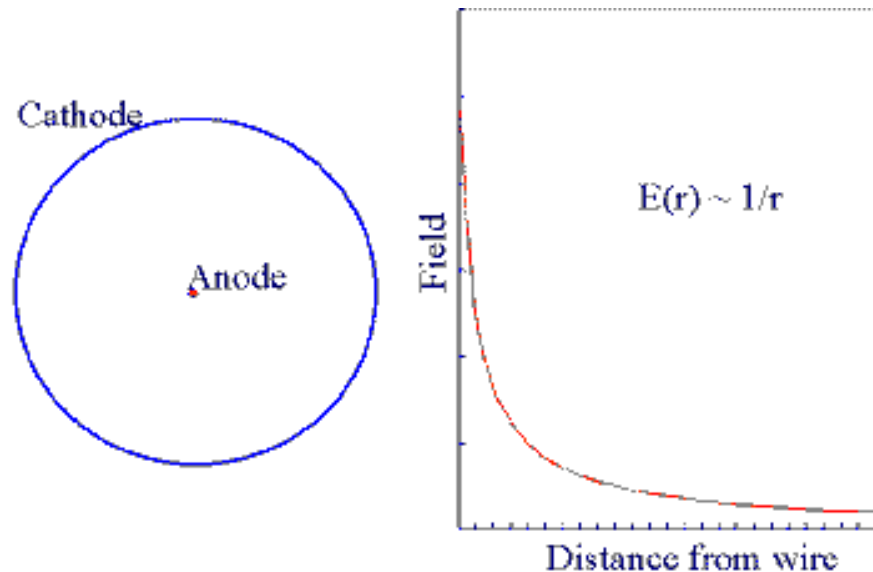
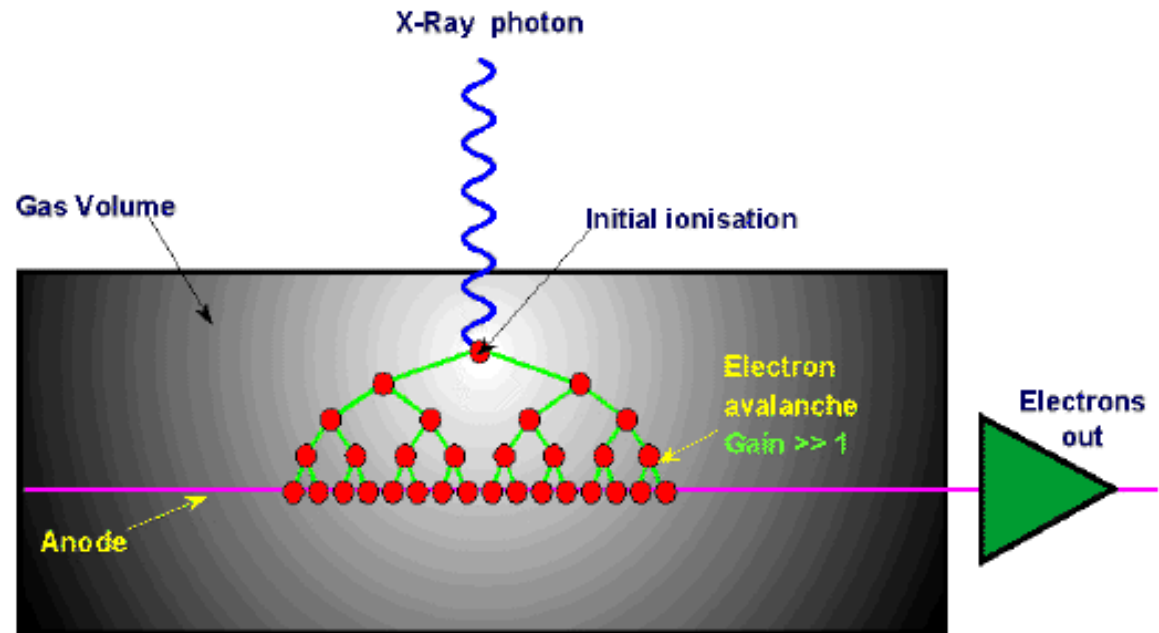
Ionization alpha/N and attachment eta/N coefficients, m²





Aplikácie ionizácie v proporcionálnej oblasti

Prof. Charpak, Nobelova cena v r. 1992
za „*Multiwire Proportional Counters*“



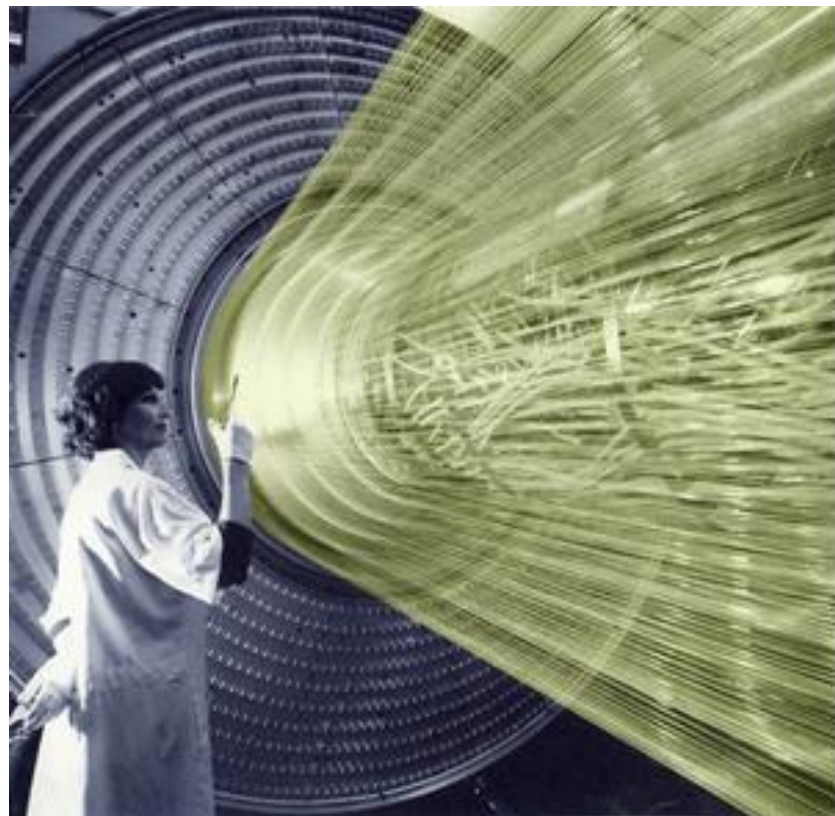
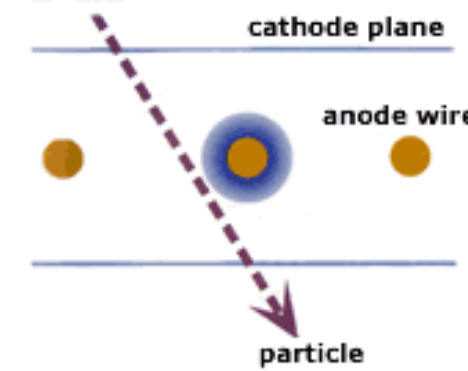
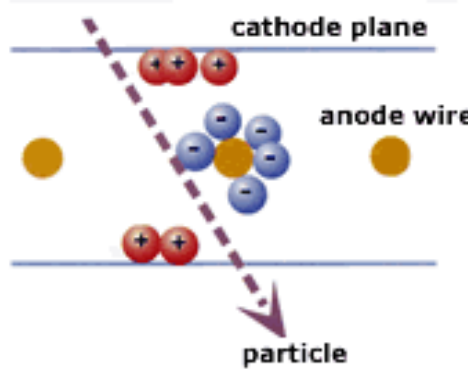
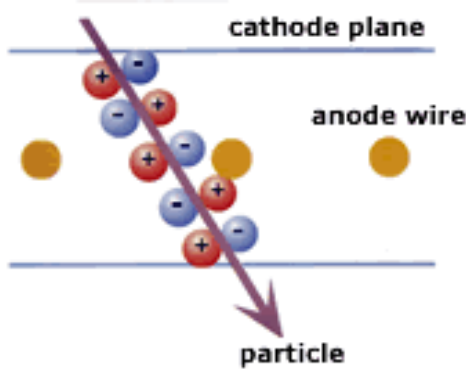
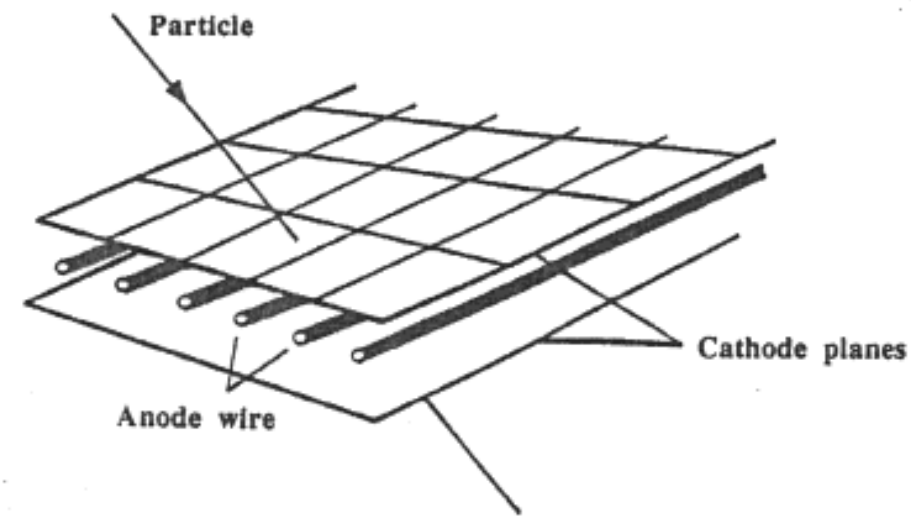


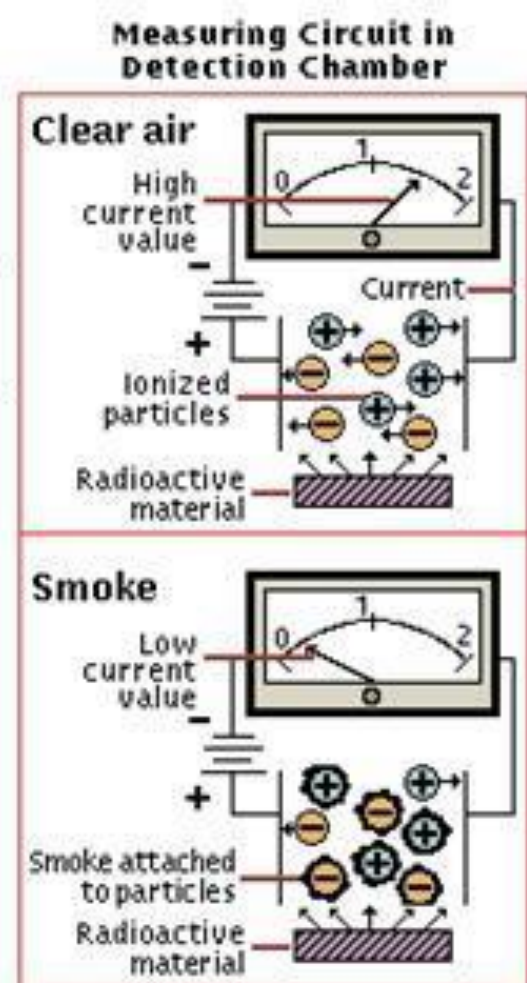
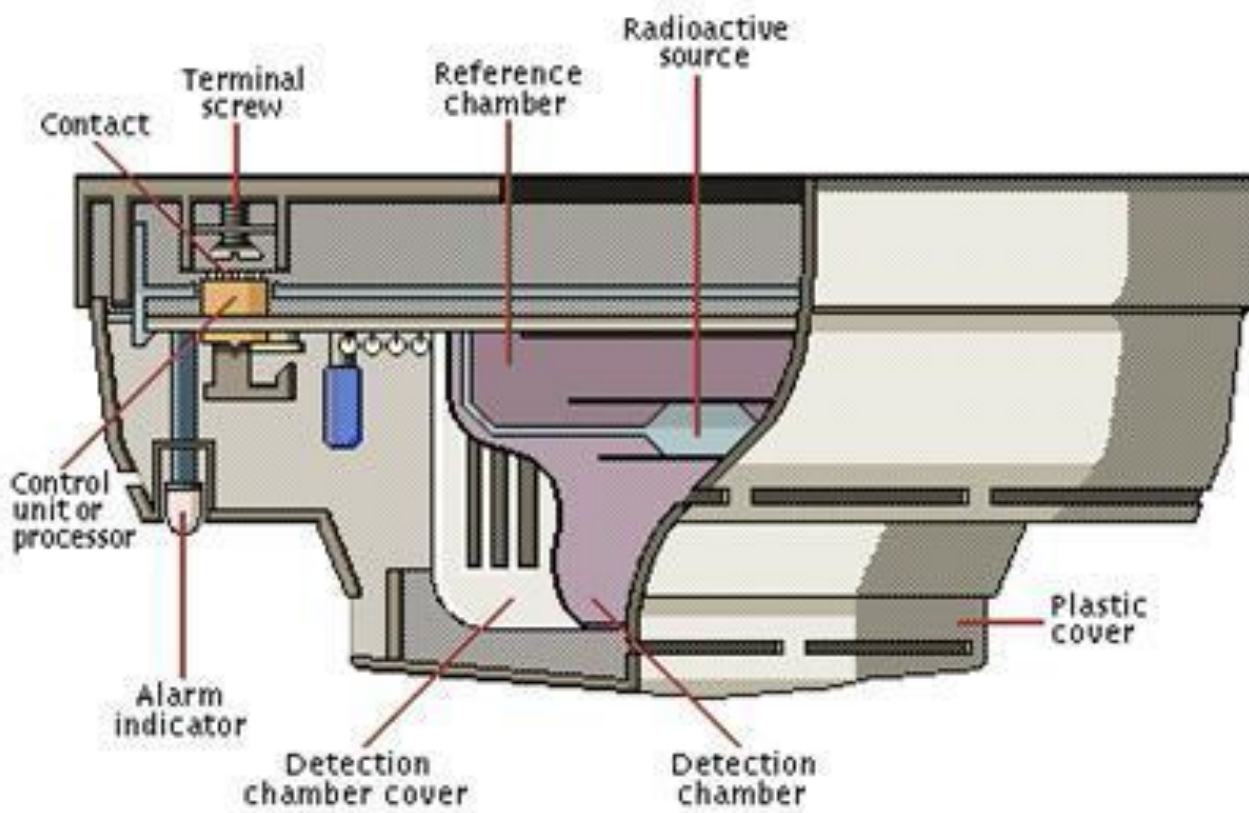
Photo: SLAC, USA





The discovery of the W and the Z particles was rewarded with the Nobel Prize in Physics in 1984 ([Carlo Rubbia and Simon van der Meer](#), CERN). The particle collision in which the Z particle is created and then rapidly decays into an electron and its antiparticle, the positron, can be seen in the middle of the picture. The tracks of all the charged particles are detected in the central drift chamber. The Z particle is only created in one particle collision in a thousand million.

Detektor dymu



Aplikácie nesamostatných elektrických výbojov

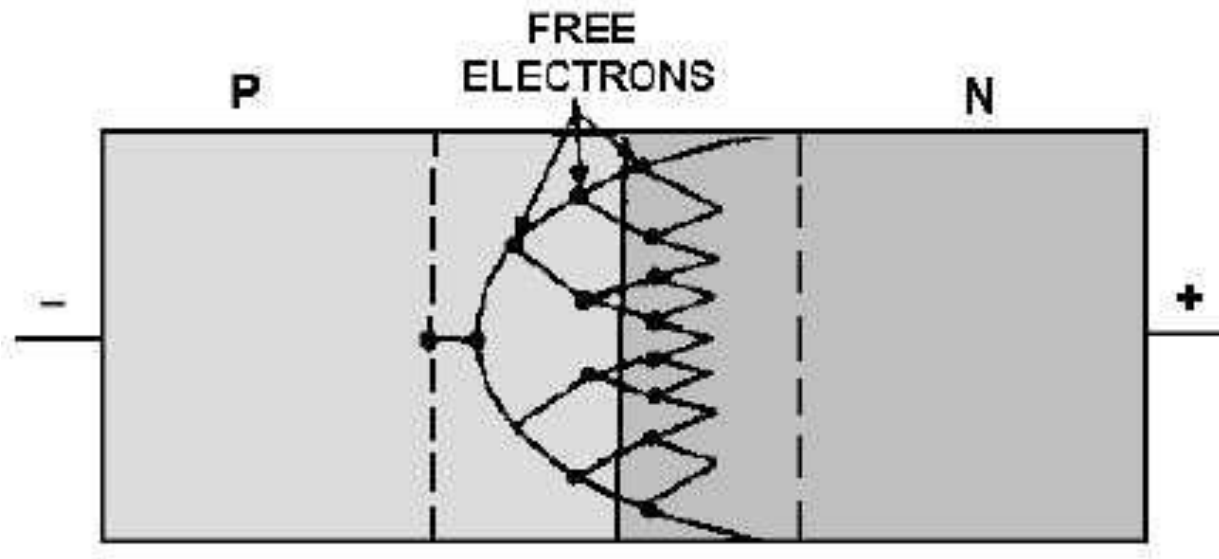
MUNI
SCI

Americium 241



Lavínový tranzistor

Hlavne pre rýchle spínanie VN



M A S A R Y K
U N I V E R S I T Y